

## Beitrag zur afrikanischen Gattung *Oreopaederus* Fagel, 1958 (Coleoptera: Staphylinidae)

JOACHIM WILLERS, Berlin

### Abstract

#### Contribution to the African genus *Oreopaederus* Fagel, 1958 (Coleoptera: Staphylinidae)

13 new species of the genus *Oreopaederus* Fagel are described and the characteristics suitable for the distinction are shown. The unknown presence of a spermatheca of the ♀♀ as a character for the determination is pointed out. The spermatheca of as yet 35 described (sub-) species is illustrated. The body proportions of all new species are arranged in measuring tables. The discovery sites of the new species are represented on maps.

### Zusammenfassung

13 neue Arten der Gattung *Oreopaederus* Fagel werden beschrieben und die zur Unterscheidung geeigneten Merkmale abgebildet. Das bisher unbekanntes Vorhandensein einer Spermatheca der ♀♀ wird als Merkmal für die Artbestimmung herausgestellt. Die Spermatheca von 35 bisher beschriebenen (Unter-) Arten wird abgebildet. Die Körpermaße aller neuen Arten werden in Meßtabelle zusammengestellt. Die Fundorte der neuen Arten werden auf Landkarten dargestellt.

**Key words:** *Oreopaederus*, new species, Africa, female characters

### Einleitung

Die afrikanische Gattung *Oreopaederus* wurde von FAGEL (1958) errichtet. Bis zu diesem Zeitpunkt waren 37 Arten als zum Genus *Paederus* gehörig beschrieben worden, deren systematischer Zusammenhang anhand äußerlicher Merkmale sowie Bauprinzipien der Aedoeagi von Fagel erkannt wurde. Auch die Lebensweise der allermeisten Arten (Bodenbewohner tropischer Gebirgswälder) spiegelt sich in der Benennung (Or-, gr.: Berg, Gebirge) wider. FAGEL (1958–1973) beschrieb 20 weitere *Oreopaederus*-Arten als neu für die Wissenschaft, so daß bis heute 57 Arten dieser Gattung bekannt sind.

Die zur Abtrennung von *Paederus* s. str. gegebene Gattungsdiagnose (FAGEL 1958) läßt sich folgendermaßen zusammenfassen:

Aptere oder brachyptere Arten, meist klein, manchmal mittelgroß, Kopf und Halsschild verdickt, Vorderkörper glatt oder retikuliert. Körper mit schwarzen Borsten verschiedener Länge besetzt. Augen meist kürzer als die Schläfen. Kehlnähte breit getrennt, zweites Kiefertasterglied kurz und dick. Mandibeln verdickt, zweizählig, Antennen schnurförmig. Halsschild gewölbt, nicht vom Prosternum getrennt. Flügeldecken kürzer als der Halsschild, trapezoidal. Abdomen mit Kiel zwischen den Hinterhüften. Letzte Sternite der ♂♂ mit sekundären Geschlechtsmerkmalen. Aedoeagus sehr verschiedenartig differenziert.

Typus der Gattung: *Paederus testaceus* Bernhauer, 1915.

Trotz der sehr genauen Beschreibungen und in ihrer Sorgfalt schwer wiederholbaren Zeichnungen FAGELS (meist beider Geschlechter) gehören die Arten der Gattung zu den besonders schwierig unterscheidbaren und oft unbestimmbaren. Das liegt an der Kleinheit und weitgehenden Gleichförmigkeit in Gestalt und Färbung. Die sehr versteckte Lebensweise - alle Arten bewohnen die Streuschicht bzw. eine Art Termitenbaue - zwingt den Sammler zu methodischem Vorgehen (z. B. Gesiebe). Die offensichtliche Neigung zur Artdifferenzierung in kleinräumig abgegrenzten Gebieten (Endemismus) mag zudem das Zusammentragen von Artenserien erschweren. Wohl aus diesen Gründen ist die Gattung in den meisten Sammlungen nach Arten- und Individuenzahl spärlich vertreten. Nur die von Fagel direkt betreuten Sammlungen in Tervueren (MRAC) und Brüssel (INSB) sind reichhaltiger ausgestattet.

### Material und Methodik

Umfangreiche Bestimmungssendungen (MRAC, ISNB, MNHUB) enthielten zahlreiche unbeschriebene Arten (hauptsächlich aus Aufsammlungen der 1970er und 1980er Jahre), die im folgenden behandelt werden.

Liste der verwendeten Sammlungsabkürzungen

- ISNB: Institut Royal des Sciences Naturelles de Belgique, Brüssel – Gérard  
 MNHUB Museum für Naturkunde der Humboldt-Universität zu Berlin – Frisch, Uhlig  
 MRAC: Koninklijk Museum voor Midden-Afrika, Tervuren, Belgien – De Meyer  
 NME: Naturkundemuseum Erfurt, Deutschland – Hartmann

Bei dem Versuch, die umfangreichen *Oreopaederus*-Serien nach Artengruppen zu sortieren und später zu bestimmen, wurde es notwendig, den meisten ♀♀ die Terminalia abzumontieren und mit den Fagelschen Zeichnungen zu vergleichen. Erst hierdurch wird eine Zuordnung zu den ♂♂ derselben Art möglich. Bei diesem Vorgehen fiel mir bei einem ♀ ein bläschenförmiges Organ auf, daß im Körperinneren zwischen den Segmenten VIII und XI des Abdomens gelegen ist und zunächst nicht identifiziert werden konnte. Nach-

dem einige der verfügbaren ♀♀ auf dieses Organ hin untersucht worden sind und eine Formkonstanz innerhalb der jeweiligen Art festzustellen war, ergab sich die überraschende Erkenntnis, daß es sich um eine Spermatheca (Receptaculum seminis) handeln müsse (z.B. Abb. 1–34). Daß das Vorhandensein einer Spermatheca bei *Paederus* s. l. schon bekannt war, fiel erst später bei der Durchsicht einer Arbeit über die Paederinae Madagaskars (LECOQ 1993) auf. Hier stellt der Autor die Receptacula seminales von zwei Arten der Gattung *Madecapaederus* Fagel, 1958 dar, erwähnt sie jedoch nicht im Text und verwendet sie auch nicht für die Bestimmungstabelle.

Die habituelle Ähnlichkeit der Untergattung *Pseudo-paederus* Bernhauer, 1915 aus Indien mit *Oreopaederus* und *Madecapaederus* veranlaßte mich, einige Arten dieser Taxa stichprobenartig auf eine Spermatheca hin zu untersuchen. Tatsächlich fand sich auch hier ein entsprechendes Organ, was zusätzlich auf eine engere Verwandtschaft hindeutet.

**Artenkatalog der Gattung *Oreopaederus* Fagel, 1958 mit Literaturzitaten**

1.	<i>alideri</i>	(Wendeler)	(Wendeler 1933: 55, Fagel 1954a: 961, 1956: 188, 1958a: 102, 1961a: 265)
2.	<i>allardianus</i>	Fagel	(Fagel 1964: 225)
3.	<i>angolanus</i>	Fagel	(Fagel 1962b: 20)
4.	<i>atricolor</i>	(Fagel)	(Fagel 1954a: 909, 1958a: 101, 1961a: 265)
5.	<i>atropygus</i>	Fagel	(Fagel 1961a: 273)
6.	<i>basilewskyi</i>	(Fagel)	(Fagel 1954a: 922, 1958a: 101, Gaedike 1981: 179)
7.	<i>bernhaueri</i>	(Fagel)	(Fagel 1954a: 964, 1958a: 102)
8.	<i>brachycephalus</i>	(Bernhauer)	(Bernhauer 1934d: 207, var. of <i>testaceus</i> Bernhauer, Fagel 1954a: 957, species, 1958a: 102)
9.	<i>brunnescens</i>	(Fagel)	(Fagel 1954a: 917, 1958a: 101, 1960b: 196)
10.	<i>brunneus</i>	(Bernhauer)	(Bernhauer 1927a: 108, Scheerpeltz 1933: 1221, Fagel 1954a: 925, 1958a: 101)
11.	<i>celisianus</i>	Fagel	(Fagel 1973: 152)
12.	<i>fallaciosus</i>	(Fagel)	(Fagel 1954a: 941, 1958a: 102)
13.	<i>fallax</i>	(Fagel)	(Fagel 1954a: 935, 1956: 187, 1958a: 101)
14.	<i>falsus</i>	Fagel	(Fagel 1961a: 268)
15.	<i>flavoides</i>	(Fagel)	(Fagel 1954a: 947, 1958a: 102)
16.	<i>flavus</i>	(Fagel)	(Fagel 1954a: 944, 1958a: 102)
17.	<i>furcifer</i>	(Fagel)	(Fagel 1954a: 959, 1958a: 102)
18.	<i>furciferoides</i>	(Fagel)	(Fagel 1956: 189, 1958a: 102)
19.	<i>insidiosus</i>	Fagel	(Fagel 1973: 150)
20.	<i>intolerans</i>	Fagel	(Fagel 1964: 228)
21.	<i>jarrigei</i>	(Fagel)	(Fagel 1954a: 948, 1958a: 102)
22.	<i>kahuziensis</i>	(Fagel)	(Fagel 1954a: 915, 1958a: 101, 1960b: 195, Gaedike 1981: 198)
23.	<i>kiybiensis</i>	Fagel	(Fagel 1960b: 199)
24.	<i>leleupi</i>	(Fagel)	(Fagel 1954a: 927, 1956: 186, 1958a: 101)
25.	<i>leleupianus</i>	Fagel	(Fagel 1973: 148)
26.	<i>luberensis</i>	Fagel	(Fagel 1954a: 921)
27.	<i>lubukensis</i>	(Fagel)	(Fagel 1954a: 931, 1958a: 101)

28.	<i>machadoi</i>	Fagel	(Fagel 1962b: 22)
29.	<i>manyemensis</i>	Frank	(Frank 1988 = nom. nov. for <i>Paederus ater</i> Bernhauer 1927: 107 = <i>ater</i> (Bernhauer), nec <i>Paederus ruficollis</i> var. <i>ater</i> Eichler = <i>Paederidus rubrothoracicus ater</i> (Eichler))
30.	<i>meersmanae</i>	Fagel	(Fagel 1961a: 263)
31.	<i>mendax</i>	(Fagel)	(Fagel 1954a: 960, 1956: 188, 1958a: 102)
32.	<i>mikenensis</i>	(Fagel)	(Fagel 1954a: 965, 1958a: 102)
33.	<i>macicornis</i>	Herman	(Bernhauer 1942b: 357, var. of <i>testaceus</i> Bernhauer, Fagel 1954a: 949, species, senior synonym of <i>filicornis</i> Fagel, Herman 2003: 7 new name)
34.	<i>minutissimus</i>	(Bernhauer)	(Bernhauer 1927a: 108, Scheerpeltz 1933: 1225, Fagel 1954a: 916, 1958a: 101, 1960a: 115)
35.	<i>minutulus</i>	Fagel	(Fagel 1960b: 193)
36.	<i>mulengensis</i>	Fagel	(Fagel 1960b: 197)
37.	<i>ngoviensis</i>	Fagel	(Fagel 1958a: 97)
38.	<i>nigricans</i>	Fagel	(Fagel 1961a: 265)
39.	<i>nitidus</i>	(Fagel)	(Fagel 1954a: 945, 1958a: 102)
40.	<i>nyakagerensis</i>	Fagel	(Fagel 1958a: 100)
41.	<i>nyalengensis</i>	Fagel	(Fagel 1961a: 270)
42.	<i>obscuripennis</i>	(Fagel)	(Fagel 1954a: 938, 1958a: 102)
43.	<i>pseustes</i>	(Fagel)	(Fagel 1954a: 929, 1956: 186, 1958a: 101, 1960b: 196)
44.	<i>punctipennis</i>	(Fagel)	(Fagel 1954a: 963, 1956: 189, 1958a: 102)
45.	<i>rugegensis</i>	(Fagel)	(Fagel 1954a: 923, 1958a: 101)
46.	<i>straeleni</i>	(Fagel)	(Fagel 1954a: 942, 1958a: 102, 1959: 58)
47.	<i>stricticornis</i>	(Fagel)	(Fagel 1954a: 953, 1958a: 102)
48.	<i>subnitidicollis</i>	(Bernhauer)	(Bernhauer 1934c: 232, var. of <i>testaceus</i> Bernhauer, Fagel 1954a: 937, species, 1958a: 101, 1960b: 197)
49.	<i>termitophilus</i>	(Wasmann)	(Wasmann 1911: 101, Scheerpeltz 1933: 1229, Fagel 1954a: 952, 1958a: 102)
50.	<i>testaceus</i>	(Bernhauer)	(Bernhauer 1915c: 292, Scheerpeltz 1933: 1229, Fagel 1958a: 324, 1959:62, 1963: 348, 1966: 264)
51.	<i>tricoloricornis</i>	Fagel	(Fagel 1958a: 99)
52.	<i>tshibindensis</i>	(Fagel)	(Fagel 1954a: 966, 1958a: 102)
53.	<i>tumbaensis</i>	Fagel	(Fagel 1958a: 94, 1961a: 265)
54.	<i>umbrosus</i>	(Fagel)	(Fagel 1954a: 934, 1958a: 101)
55.	<i>upembaensis</i>	Fagel	(Fagel 1958a: 95)
56.	<i>vulcanicola</i>	(Fagel)	(Fagel 1954b: 237, repl. name for <i>vulcanus</i> Fagel, 1958a: 102)
57.	<i>yaninensis</i>	(Fagel)	(Fagel 1956: 187, 1958a: 102)

### Neue Arten mit Abbildungsnummern

n. sp.	Aedoeagus	Sperma- theca	Oberlippe	Mandibel	letztes Tergit	letztes Sternit
<i>Oreop. kibumbaensis</i> Habitus <b>35a</b>	<b>36</b>	<b>37</b>	<b>38, 39</b>	<b>38</b>	<b>40</b>	<b>41</b>
<i>O. bambusicola</i>	<b>42</b>	<b>43</b>	<b>44, 45</b>		<b>46, 48</b>	<b>47</b>
<i>O. tshamugussaensis</i>	<b>49</b>	<b>50</b>	<b>51, 52</b>		<b>53</b>	<b>54</b>
<i>O. pulcher</i>	<b>55</b>	<b>56</b>	<b>57, 58</b>		<b>59</b>	<b>60</b>
<i>O. dedzaensis</i>	<b>61</b>	<b>62</b>	<b>63, 64</b>	<b>63</b>	<b>65</b>	<b>66</b>
<i>O. mulanjensis</i>	<b>67</b>	<b>68</b>	<b>69, 70</b>		<b>71</b>	<b>72</b>
<i>O. lichenyaensis</i>	<b>73</b>	<b>74</b>	<b>75, 76</b>	<b>75</b>	<b>77</b>	<b>78</b>
<i>O. kasarambaensis</i>	<b>79</b>	<b>80</b>	<b>81, 82</b>		<b>83</b>	<b>84</b>
<i>O. sapitwaensis</i>	<b>85</b>	<b>86</b>	<b>87, 88</b>		<b>89</b>	<b>90</b>
<i>O. makhutulanaensis</i>	<b>91</b>	<b>92</b>	<b>93, 94</b>		<b>95, 96</b>	<b>97</b>
<i>O. jocquei</i>	<b>98</b>	<b>99</b>	<b>100, 101</b>		<b>102</b>	<b>103</b>
<i>O. zombaensis</i>	<b>104</b>	<b>107</b>	<b>105, 106</b>		<b>108, 109</b>	<b>110</b>
<i>O. kilinderaensis</i>	<b>111</b>		<b>113</b>		<b>112</b>	

### Biometrie

Die biometrischen Daten sind als Anhang (Tab. 1–3) angefügt.

## Abbildungen von Spermathecae bisher beschriebener Arten

Da die folgenden Zeichnungen der Spermathecae wie auch die der Körperteile der neu beschriebenen Arten an verschiedenen Vergrößerungsgeräten ausgeführt werden mußten, konnten für einige Zeichnungen keine Maßstäbe angegeben werden. Alle Spermathecae sind jedoch von ähnlicher Größe, genauso wie die anderen untereinander zu vergleichenden Körperteile.

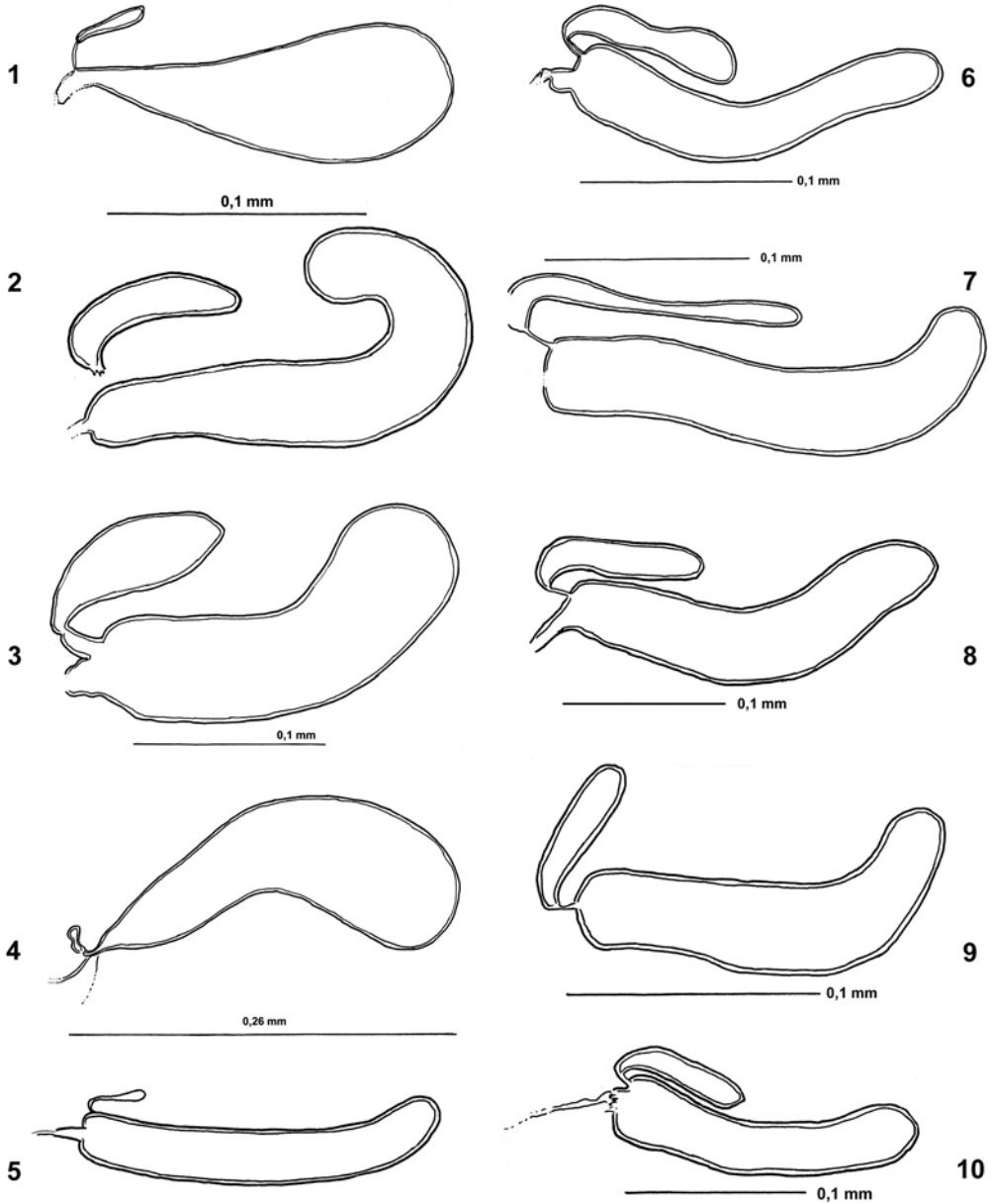


Abb. 1–10: Spermatheca von 1 *Oreopaederus alinderi* (Wdlr.), PT, Mt. Elgon; 2 *O. atropygus* Fgl., PT, Kivu; 3 *O. basilewskyi* (Fgl.), PT, Kivu; 4 *O. bernhaueri* (Fgl.), HT, Kivu; 5 *O. brachycephalus* (Bh.), Kivu; 6 *O. brunnescens* (Fgl.), PT, Kivu; 7 *O. brunneus* (Bh.), Kivu; 8 *O. fallax* (Fgl.), PT, Ruanda; 9 *O. flavoides* (Fgl.), Kivu; 10 *O. flavus* (Fgl.), PT, Kivu. Maßstäbe: 1 und 5: ohne; 2 und 3: 0,1 mm; 4: 0,26 mm; 6–10: 0,1 mm.

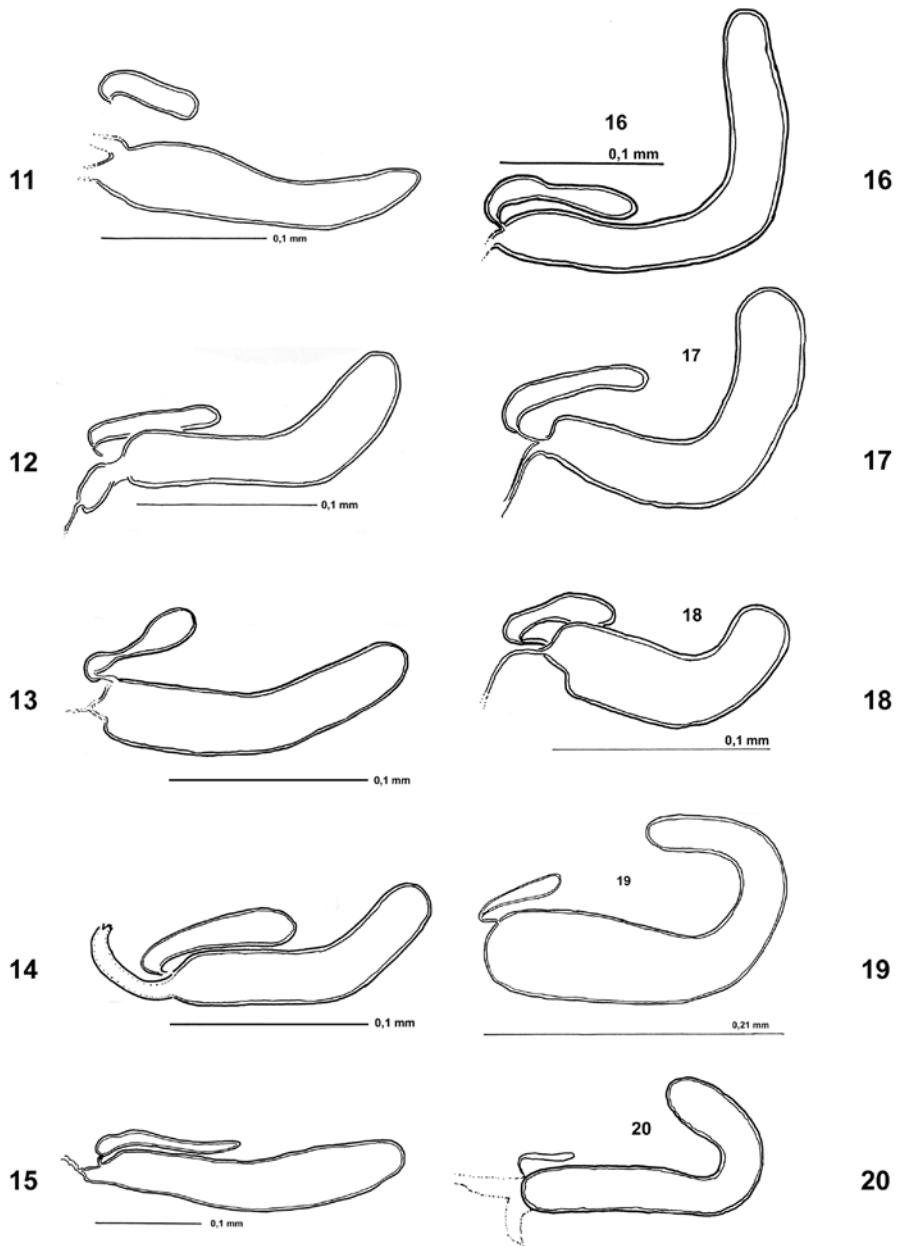


Abb. 11-20: Spermatheca von 11 *Oreopaederus furciferoideis* (Fgl.), PT, Urundi; 12 *O. jarrigei* (Fgl.), Pt, Kivu; 13 *O. kahuziensis* (Fgl.), PT, Kivu; 14 *O. kiymbiensis* Fgl., PT, Albertville; 15 *O. leleupi* (Fgl.), PT, Uvira; 16 *O. luberensis* Fgl., PT, Kivu; 17 *O. lubukensis* (Fgl.), PT, Kivu; 18 *O. meersmanae* Fgl., PT, Kwango; 19 *O. mendax* (Fgl.), HT; 20 *O. minutissimus* (Bh.), Tanganyika, Uluguru. Maßstäbe: 11-18: 0,1 mm; 19: 0,21 mm; 20: ohne.

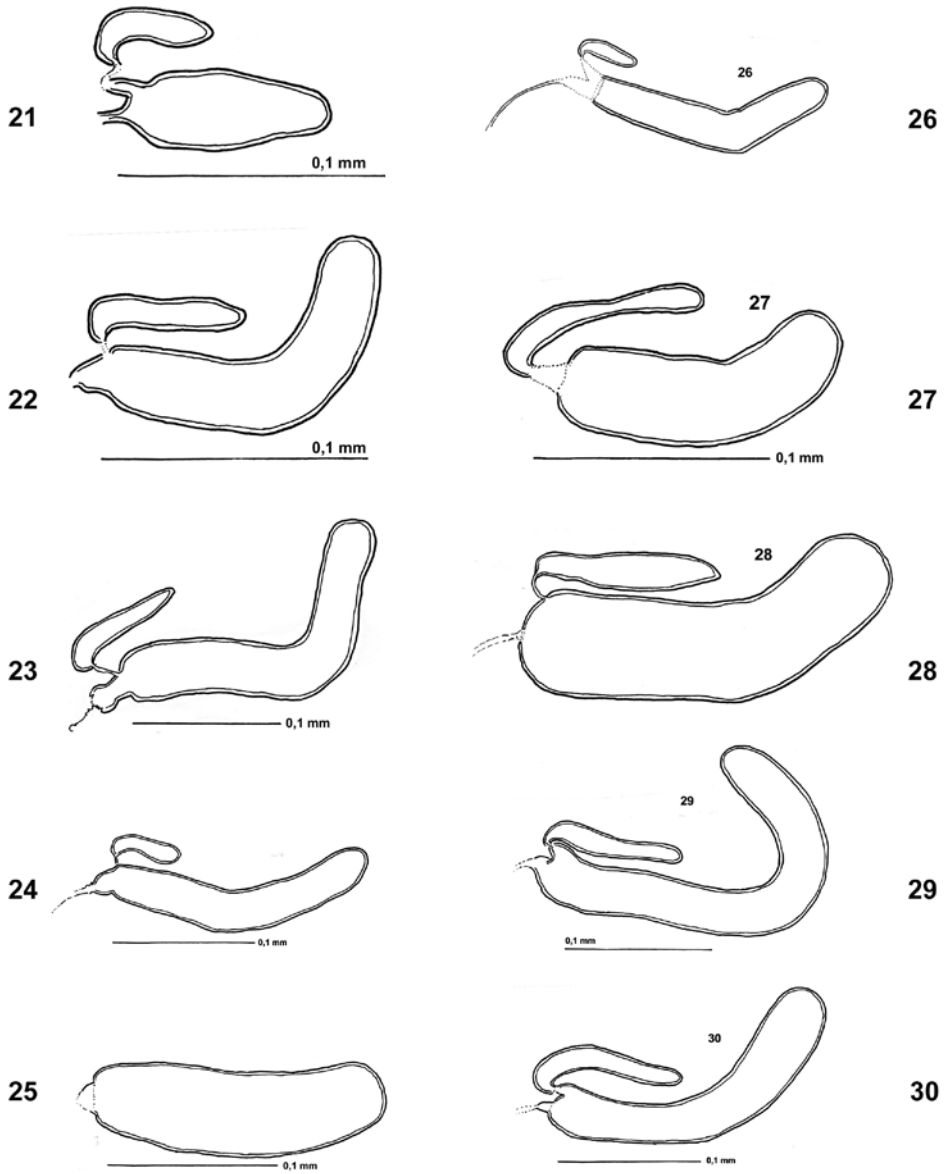


Abb. 21-30: Spermatheca von 21 *Oreopaederus minutulus* Fgl., PT, Kivu, Mont Kabobo; 22 *O. ngoviensis* Fgl., PT Kivu; 23 *O. nitidus* (Fgl.), PT, Kivu; 24 *O. nyakagerensis* Fgl., PT, Kivu; 25 *O. obscuripennis* (Fgl.), PT, Kivu; 26 *O. pseustes* (Fgl.), PT, Kivu; 27 *O. punctipennis* (Fgl.), PT, Kivu; 28 *O. rugegensis* (Fgl.), HT, Ruanda; 29 *O. stricticornis* (Fgl.), PT, Kivu; 30 *Oreopaederus stricticornis dubiosus* Fgl., PT, Kivu. Maßstäbe: 21-25, 27-30: 0,1 mm; 26 und 28: ohne.

## Neubeschreibungen

### *Oreopaederus kibumbaensis* n. sp.

Holotypus ♂: /N. Bitsitsi: au pied du Sabinyo 2300/2400 m 21-VII-1964/ Tamisage sous Bambous/ Coll. Mus. Tervuren Zaire: P.N. Virunga Volcan Sabinyo R.P. Celis VII-64/ HOLOTYPUS ♂ *Oreopaederus kibumbaensis* n. sp. des. Willers, 10.2001 [rotes Etikett]/.

46 Paratypen, MRAC, mit folgenden roten Etiketten: /PARATYPUS ♂ [rsp. ♀] *Oreopaederus kibumbaensis* n. sp. des. Willers, 10.2001/.

♂ ♀: gleiche Daten wie HT.

3 ♂ ♂: / S.W. de Rweru 2550 m 29-VI-1964 Tamisage/ Coll. Mus. Tervuren Zaire: P.N. Virunga Volcan Mikeno R.P. Celis VI-64/.

2 ♀ ♀, 1 ♂: / N. de Tshamugussa 2000/2100 m 19-VII-1964 Tam. sous Bambous/ Coll. Mus. Tervuren Zaire: P.N. Virunga Volcan Sabinyo R.P. Celis VII-64/.

♂ ♀: /Rweru-Kibumba 2000/2100 m 3-VIII-1964 Tamisage/ Coll. Mus. Tervuren Zaire: P.N. Virunga Volcan Mikeno R.P. Celis VI-64/.

4 ♂, 2 ♀ ♀: /Rweru-Kibumba 2100/2200 m 3-VII-1964 Tamisage/ Coll. Mus. Tervuren Zaire: P.N. Virunga Volcan Mikeno R.P. Celis VI-64/.

♂: / Rweru-Kibumba 2380 m 25-VI-1964 Tamisage Bambousaie/ Coll. Mus. Tervuren Zaire: P.N. Virunga Volcan Mikeno R.P. Celis VI-64/.

♂: / Rweru-Kibumba 2460 m 25-VI-1964 Tamisage Bambousaie/ Coll. Mus. Tervuren Zaire: P.N. Virunga Volcan Mikeno R.P. Celis VI-64/.

♀: / Rweru-Kibumba 2580 m 25-VI-1964 Tamisage Bambousaie/ Coll. Mus. Tervuren Zaire: P.N. Virunga Volcan Mikeno R.P. Celis VI-64/.

4 ♂ ♂: / Rutare W. 2180 m 22-VII-1964 Tamisage sous bambous/ Coll. Mus. Tervuren Zaire: P.N. Virunga Volcan Sabinyo R.P. Celis VII-64/.

♂ ♀: / Rutare, N. Sabinyo 2300 m 22-VII-1964 Tamisage sous Bambous/ Coll. Mus. Tervuren Zaire: P.N. Virunga Volcan Sabinyo R.P. Celis VII-64/.

2 ♂ ♂, 1 ♀: / Piste Rweru-Kibumba 2310 m 25-VI-1964 Tam[is]. Bambousaie/ Coll. Mus. Tervuren Zaire: P.N. Virunga Volcan Mikeno R.P. Celis VI-64/.

5 ♀ ♀: / E de Tshamugussa 2240 m 17-VII-1964 Tamisage sous Bambous/ Coll. Mus. Tervuren Zaire: P.N. Virunga Volcan Sabinyo R.P. Celis VII-64/.

♂ ♀: / Rweru: 2800/2900 m 20-VI-1964 Tamisage

Bambousaie/ Coll. Mus. Tervuren Zaire: P.N. Virunga Volcan Mikeno R.P. Celis VI-64/.

4 ♂ ♂, 2 ♀ ♀: / Musule W.: 2400 m 24-VII-1964 Tamisage sous Bambous/ Coll. Mus. Tervuren Zaire: P.N. Virunga Volcan Sabinyo R.P. Celis VII-64/.

2 ♀ ♀, 1 ♂: / S.E. Tshamugussa 2300 m 16-VII-1964 Tam. sous Bambous/ Coll. Mus. Tervuren Zaire: P.N. Virunga Volcan Sabinyo R.P. Celis VII-64/.

2 ♀ ♀: / E de Rweru 2750 m 5-VII-1964 Tamisage/ Coll. Mus. Tervuren Zaire: P.N. Virunga Volcan Mikeno R.P. Celis VI-64/.



Abb. 31–35: Spermatheca von 31 *O. testaceus* (Bh.), SE Tshamugussa; 32 *O. tricoloricornis* Fgl., Kivu; 33 *O. tshibindensis* (Fgl.), Kivu; 34 *O. umbrosus* (Fgl.); 35 *O. vulcanicola nitidicollis* (Fgl.), PT, Kivu. Maßstäbe: 31, 33: ohne, 32–35: 0,1 mm.



Abb. 35a:  
Habitus von *Oreopaederus kibumbaensis* n. sp., PT, ♀.  
(Foto : Dr. G. Geginat).

Körperlänge 7,6 mm.

Kopf, Halsschild, Hinterleib und Körperanhänge hellbraun bis bernsteinartig durchscheinend. Flügeldecken dunkelbraun (manchmal mit Aufhellung neben der Naht) und zwei letzte Abdominalsegmente dunkelbraun.

Kopf rundlich, sehr wenig breiter als das Pronotum, Augen viel kleiner als die gerundeten Schläfen. Oberfläche sehr locker mit verschiedenen starken Punkten besetzt, denen starke Tastborsten entspringen, dazwischen glatt und glänzend. Kopfschild oft deutlich verdunkelt. Taster und Fühler gelblich braun, letztere mit verdunkelten Mittelgliedern. Oberlippe beim ♀ (Abb. 39) mit Mitteleinschnitt und jederseits zwei groben Vorsprünge, Seitenecken deutlich stumpfzählig heraustretend. Labrum beim ♂ (Abb. 38) sehr ähnlich, jedoch weniger tiefe Einschnitte zwischen den Vorsprüngen. Mandibeln (Abb. 38) ohne Besonderheiten, der zweispitzige Zahn am Innenrand kurz und breit.

Pronotum in Aufsicht sehr oval verrundet, am Ende des vorderen Viertels am breitesten. Seitlich, nur im vorderen Drittel, schwer erkennbar fein gerandet. Punktur und Behaarung ganz ähnlich der des Kopfes, aber neben einer punktfreien Mittellängsfläche undeutlich gereiht. Glatt und glänzend.

Schildchen hellbraun, dunkel gerandet, Oberfläche kräftig querchagriniert, spärlich punktiert.

Die ganz schwach geschulterten, kurzen Flügeldecken fast geradlinig bis kurz vor den Hinterrand erweitert, dann ganz leicht konkav nach außen gewölbt, dadurch leicht glockenförmig. Die breiteste Stelle am Hinter-

rand etwa so breit wie der Kopf. Deutlich, aber nicht sehr dicht (Abstände größer als Punkte) flach muldenartig punktiert, dadurch Oberfläche etwas wellenartig wirkend. Glatt und glänzend, aber stellenweise mit angedeutetem groben Chagrin. Feine helle Haare nach hinten geneigt, große schwarze Tastborsten absteheend. Beine schlank, ohne Besonderheiten, manchmal Schenkelmitte gebräunt.

Hinterleib von der Basis bis zum fünften Segment leicht erweitert, dann schnell spitz verengt. Fein und verstreut punktiert, wie auf den Elytren behaart. Mikroskulptur aus gestreckten, leicht welligen Quermaschen. Basalfurchen der Tergite nur schwach eingedrückt.

♂: Hinterrand des dritten und vierten freiliegenden Sternits flach eingedrückt, etwas kräftiger als die Umgebung punktiert, rückwärts gerichtet behaart. Fünftes freiliegendes Sternit über die ganze Länge tiefer eingedrückt, stärker punktiert und behaart, sechstes (letztes) Sternit mit tiefem Ausschnitt. Sechstes (letztes) Tergit am Hinterrand länglich oval gerundet. Aedeogagus (Abb. 36) länglich oval, apikal verschmälert und stark asymmetrisch. Die fadenförmigen Parameren nur basal angewachsen, nach außen gebogen und absteheend. Zentralkörper in der oberen Hälfte mit einer länglichen Öffnung, der eine in Aufsicht schwach S-förmige, mit komplizierten Erhebungen ausgestattete Internalarmatur entspringt. Ventral- und Dorsaldeckel vereinigen sich apikal zu einer aufgefächerten, blütenblattartigen Spitze, die in Seitenansicht unregelmäßig zusammengedrückt erscheint.

♀: Hinterrand des sechsten Sternits (Abb. 41) stark geschwungen ausgeschnitten und in eine sehr verrundete dreieckige Spitze ausgezogen. Das entsprechende Tergit (Abb. 40) einfach oval gerundet. Spermatheca (Abb. 37) kurz und dick, wurstförmig mit sehr langgestreckter, dünner Nebendrüse.

Differentialdiagnose: In Größe, Färbung und Gestalt sehr ähnlich *O. brunnescens* und *O. pseustes*, nur genitaler sicher unterscheidbar.

Namenserklärung: Die Art wird nach einem ihrer Fundorte benannt.

#### *Oreopaederus bambusicola* n. sp.

Holotypus ♂: / Rutare W. : 2180 m 22-VII-1964 Tami-sage sous Bambous/ Coll. Mus. Tervuren Zaire: P.N. Virunga Volcan Sabinyo R.P. Celis VII-64/ HOLOTYPUS ♂ *Oreopaederus bambusicola* n. sp. des. Willers, 10.2001[rotes Etikett]/.



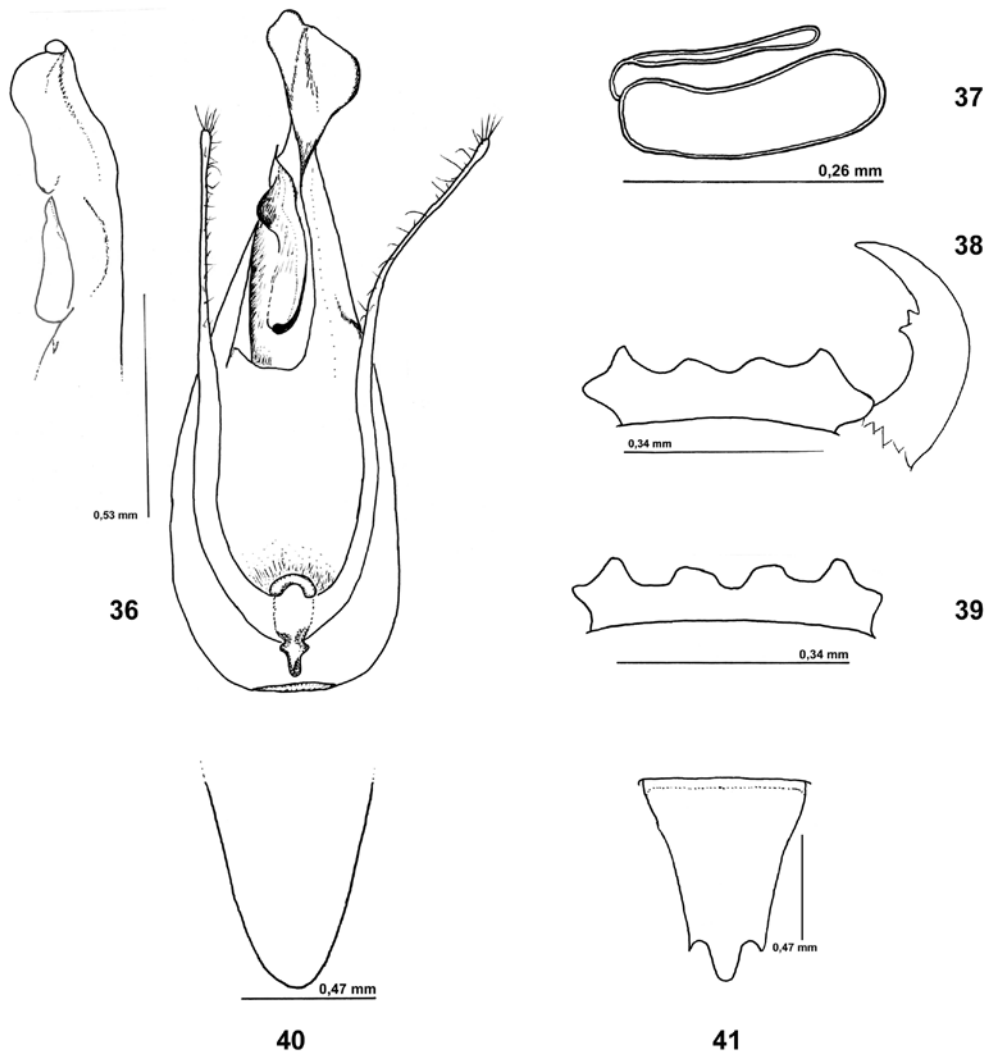


Abb. 36-41: *Oreopaederus kibumbaensis* n. sp.; 36 Aedoeagus ventral und Apex lateral von PT, S.W. de Rweru, Zaire, Virunga, Mikeno; 37 Spermatheca von PT, Rutare, N Sabinyo; 38 Labrum und rechte Mandibel von HT (♂); 39 Labrum von PT (♀), Virunga, Sabinyo; 40 letztes Tergit von PT (♀), Rutare; 41 letztes Sternit von PT (♀), Rutare. Maßstäbe: 36: 0,53 mm, 37: 0,26 mm, 38, 39: 0,34 mm, 40, 41: 0,47 mm.

14 Paratypen, MRAC, mit folgenden roten Etiketten:  
/ PARATYPUS ♂ [rsp. ♀] *Oreopaederus bambusicola*  
n. sp. des. Willers, 10.2001/.

♂ ♀: gleiche Daten wie HT.

♂: / E de Tshamugussa 2240 m 17-VII-1964 Tamisage  
sous bambous/ Coll. Mus. Tervuren Zaire: P.N. Virunga  
Volcan Sabinyo R.P. Celis VII-64/.

2 ♂ ♂: / N.E. Tshamugussa 2260 m 17-VII-1964 Ta-  
misage sous bambous/ Coll. Mus. Tervuren Zaire: P.N.  
Virunga Volcan Sabinyo R.P. Celis VII-64/.

2 ♂ ♂, 1 ♀: / S.E. Tshamugussa 2300 m 16-VII-1964

Tam. sous Bambous/ Coll. Mus. Tervuren Zaire: P.N.  
Virunga Volcan Sabinyo R.P. Celis VII-64/.

2 ♂ ♂: / Piste Rweru-Kibumba 2310 m 25-VI-1964  
Tamis. bambousaie/ Coll. Mus. Tervuren Zaire: P.N.  
Virunga Volcan Mikeno R.P. Celis VI-64/.

♂: / Coll. Mus. Tervuren Zaire: P.N. Virunga Volcan  
Sabinyo R.P. Celis VII-64/ S.E. de Tshamugussa 2300  
m 16-VII-1964 Tam. sous Bambous/.

♀: / Rweru-Kibumba 2580 m 25-VI-1964 Tamisage  
Bambousaie/ Coll. Mus. Tervuren Zaire: P.N. Virunga  
Volcan Mikeno R.P. Celis VI-64/.

♂: / W de Rweru 2400/2600 m 6-VII-1964 Tamisage/  
Coll. Mus. Tervuren Zaire: P.N. Virunga Volcan Mikeno  
R.P. Celis VI-64/.

♀: / Musule W.: 2400 m 24-VII-1964 Tamisage sous  
Bambous/ Coll. Mus. Tervuren Zaire: P.N. Virunga Vol-  
can Sabinyo R.P. Celis VII-64/.

Körperlänge 6,0 mm.

Kopf, Halsschild, Flügeldecken und Anhänge hell-  
braun, Abdomen gelblichbraun, das sechste freiliegen-  
de Segment basal dunkelbraun.

Kopf rundlich, kaum breiter als das Pronotum, Augen  
kleiner als die Schläfen. Oberfläche glatt und glänzend

mit wenigen borstentragenden Punkten. Mittlere Fühler-  
glieder erkennbar verdunkelt. Oberlippe beim ♀ (Abb. 45)  
mit deutlichem Mitteleinschnitt, jederseits einem stumpfen  
und einem spitzen Vorsprung, seitlich geschwungen  
verrundet. Labrum beim ♂ (Abb. 44) kleinflächiger, mit  
sehr schwachem Mitteleinschnitt, undeutlichen Zähnen  
und gerundeten Außenecken. Mandibeln mit zweispitzig-  
em Mittelzahn ohne weitere Besonderheiten.

Halsschild länglich oval, am Ende des vorderen Drittels  
am breitesten. Oberfläche glatt und glänzend, nur wenige  
Punkte jederseits längs der Mitte.

Schildchen randlich verdunkelt und quer chagriniert.

Elytren wie bei der vorhergehenden Art geformt, runz-

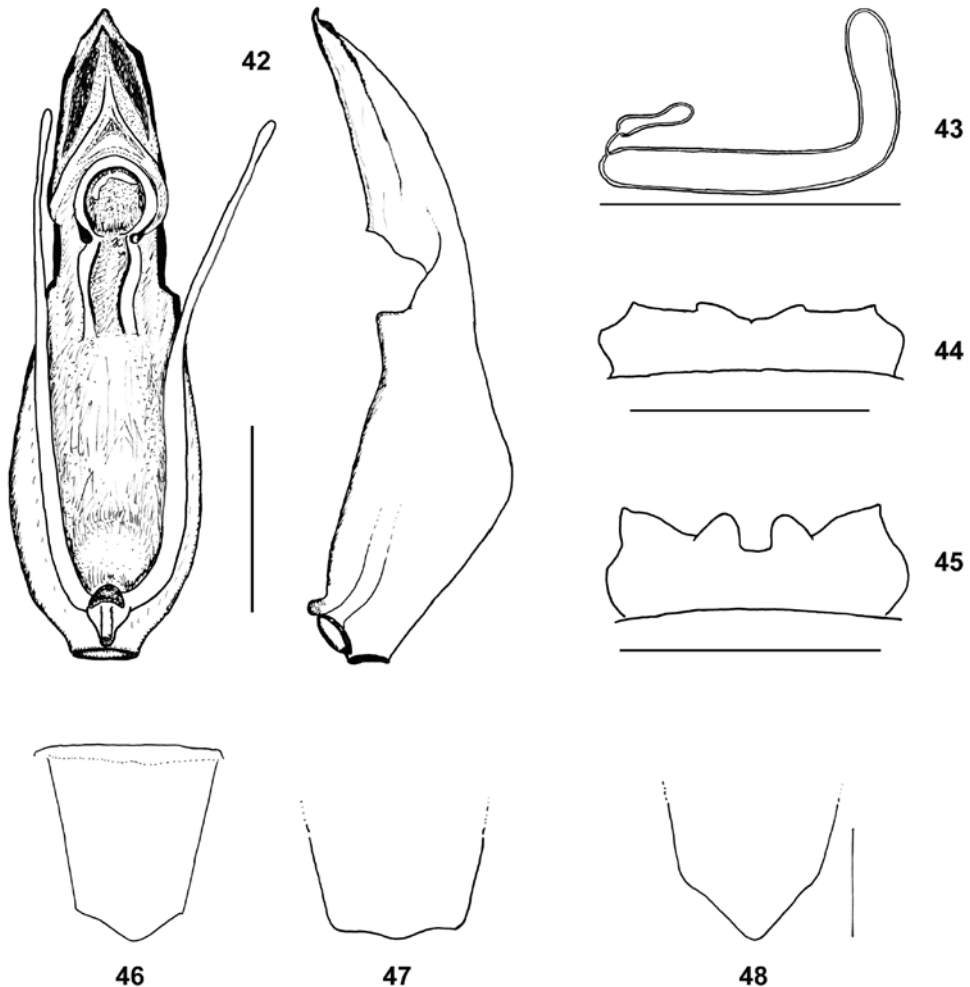


Abb. 42-48: *Oreopaederus bambusicola* n. sp.; 42 Aedoeagus ventral und lateral von PT, Zaire, Virunga, Sabinyo; 43 Spermatheca von PT, Zaire, Virunga, Sabinyo; 44 Labrum von PT (♂), W de Rweru; 45 Labrum von PT (♀), Rweru, Kibumba; 46 letztes Tergit von PT (♀), Masule; 47 letztes Sternit von PT (♀), Masule; 48 letztes Tergit von PT (♂), Rweru, Kibumba. Maßstäbe: 42: 0,34 mm, 43: 0,21 mm, 44-45: 0,29 mm, 46-48: 0,32 mm.

lig chagriniert, locker punktiert und mit groben Borsten und feinen, nach hinten geneigten Haaren besetzt. Beine ohne Besonderheiten.

Abdomen bis zum Ende des vierten freiliegenden Segments erweitert, dann verengt. Die verstreute, grobe und feine Punktierung und entsprechende Behaarung ist auf den letzten beiden Tergiten verdichtet. Oberfläche querchagriniert.

♂: Drittes und viertes freiliegendes Sternit am Ende, fünftes über die ganze Länge und sechstes vor dem Einschnitt flach eingedrückt. Hinterrand des sechsten Tergits (Abb. 48) stumpf dreieckig. Aedoeagus (Abb. 42) lang und schmal, apikal verengt. In Ventralansicht in der oberen Hälfte mit schlüssellochartiger Öffnung, die von einer länglichen Struktur ausgefüllt wird. Lateral mit konvex gebogenen Seiten und tiefer Einkerbung in Höhe der o. g. Öffnung.

♀: Hinterrand des sechsten Tergits (Abb. 46) von der Seiten her leicht geschwungen stumpf verrundet. Letztes Sternit (Abb. 47) fast gerade abgeschnitten mit leichter Mittelvorwölbung. Spermatheca (Abb. 43) lang und fast gleichbleibend schmal mit um 90° abgeknicktem Ende. Nebendrüse kurz und in der Mitte verengt.

Differentialdiagnose: Sehr ähnlich den Arten *O. testaceus* Bh. und *O. stricticornis* Fgl., jedoch mit deutlicherer Verdunkelung der Fühlermittelglieder und des fünften freiliegenden Segments. Durch den Vergleich der Aedoeagi bzw. der Spermathecan eindeutig unterscheidbar.

Namenserklärung: Die Art wird nach ihrer Lebensweise in Bambuslaubstreu benannt.

### ***Oreopaederus tshamugussaensis* n. sp.**

Holotypus ♂: /N. Bitsitsi: au pied du Sabinyo 2300/2400 m 21-VII-1964/ Tamisage sous Bambous/ Coll. Mus. Tervuren Zaire: P.N. Virunga Volcan Sabinyo R.P. Celis VII-64/ HOLOTYPUS ♂ *Oreopaederus tshamugussaensis* n. sp. des. Willers, 10.2001 [rotes Etikett]/.

26 Paratypen, MRAC, mit folgenden roten Etiketten: / PARATYPUS ♂ [rsp. ♀] *Oreopaederus tshamugussaensis* n. sp. des. Willers, 10.2001/.

2 ♀ ♀: gleiche Daten wie HT.

2 ♂ ♂, 2 ♀ ♀: /E: de Tshamugussa 2240 m 17-VII-1964 Tamisage sous bambous/ Coll. Mus. Tervuren Zaire: P.N. Virunga Volcan Sabinyo R.P. Celis VII-64/.

2 ♀ ♀, 1 ♂: / Ravin N. de Rweru 23-VI-1964 Tamisage sous Fougères/ Coll. Mus. Tervuren Zaire: P.N. Virunga Volcan Mikeno R.P. Celis VI-64/.

3 ♂ ♂: / Rweru 2900 30-VI-1964 Tamisage/ Coll. Mus. Tervuren Zaire: P.N. Virunga Volcan Mikeno R.P. Celis VI-64/.

2 ♂ ♂: / Rweru: 2800/2900 m 20-VI-1964 Tamisage Bambousaie/ Coll. Mus. Tervuren Zaire: P.N. Virunga Volcan Mikeno R.P. Celis VI-64/.

♂: / Rweru: 2800/2900 m 20-VI-1964 Tamisage Bambousaie/ Coll. Mus. Tervuren Zaire: P.N. Virunga Volcan Mikeno R.P. Celis VI-64/.

3 ♂ ♂: / E. de Rweru 2750 m 5-VII-1964 Tamisage/ Coll. Mus. Tervuren Zaire: P.N. Virunga Volcan Mikeno R.P. Celis VI-64/.

3 ♂ ♂: / N. de Tshamugussa 2000/2100 m 19-VII-1964 Tam. sous Bambous/ Coll. Mus. Tervuren Zaire: P.N. Virunga Volcan Sabinyo R.P. Celis VII-64/.

♂ ♀: / SE Tshamugussa 2300 m 16-VII-1964 Tam. sous Bambous/ Coll. Mus. Tervuren Zaire: P.N. Virunga Volcan Sabinyo R.P. Celis VII-64/.

♂ ♀: / Chanya W. W. Sabinyo: Tshamugussa Tamisage sous Bambous/ Coll. Mus. Tervuren Zaire: P.N. Virunga Volcan Sabinyo R.P. Celis VII-64/.

♀: / Rweru – Kibumba 2580 m 25-VII-1964 Tamisage Bambousaie/ Coll. Mus. Tervuren Zaire: P.N. Virunga Volcan Mikeno R.P. Celis VI-64/.

Körperlänge 7,6 mm.

Kopf, Halsschild, Hinterleib und Extremitäten hellbraun, Flügeldecken und sechstes freiliegendes Tergit dunkelbraun. Kopf abgerundet viereckig, wenig schmaler als das Pronotum; Augen von oben deutlich kürzer als die Schläfen. Oberfläche glatt und glänzend mit einzelnen borstentragenden Punkten, mittlere Fühlerglieder dunkler als die Anfangs- und Endglieder. Oberlippe bei ♂ (Abb. 51) und ♀ (Abb. 52) sehr ähnlich mit Mitteleinschnitt und beim ♀ gerundeten Ausbuchtungen.

Halsschild längsoval, kurz hinter den gerundeten Vorderecken am breitesten. Oberfläche glatt und glänzend mit einzelnen Porenpunkten. Scutellum am Rand dunkler und deutlich querchagriniert.

Flügeldecken von den angedeuteten Schultern bis zum Hinterrand geradlinig erweitert, mit groben, abstehenden Borsten und feiner nach hinten geneigter Behaarung.

Beine ohne morphologische Auffälligkeiten, Schenkel manchmal leicht verdunkelt.

Abdomen wie bei vorheriger Art, jedoch Spitze deutlich dunkler.

♂: Drittes bis fünftes Sternit mit zunehmend tiefer werdendem Eindruck, der des fünften verdichtet punktiert

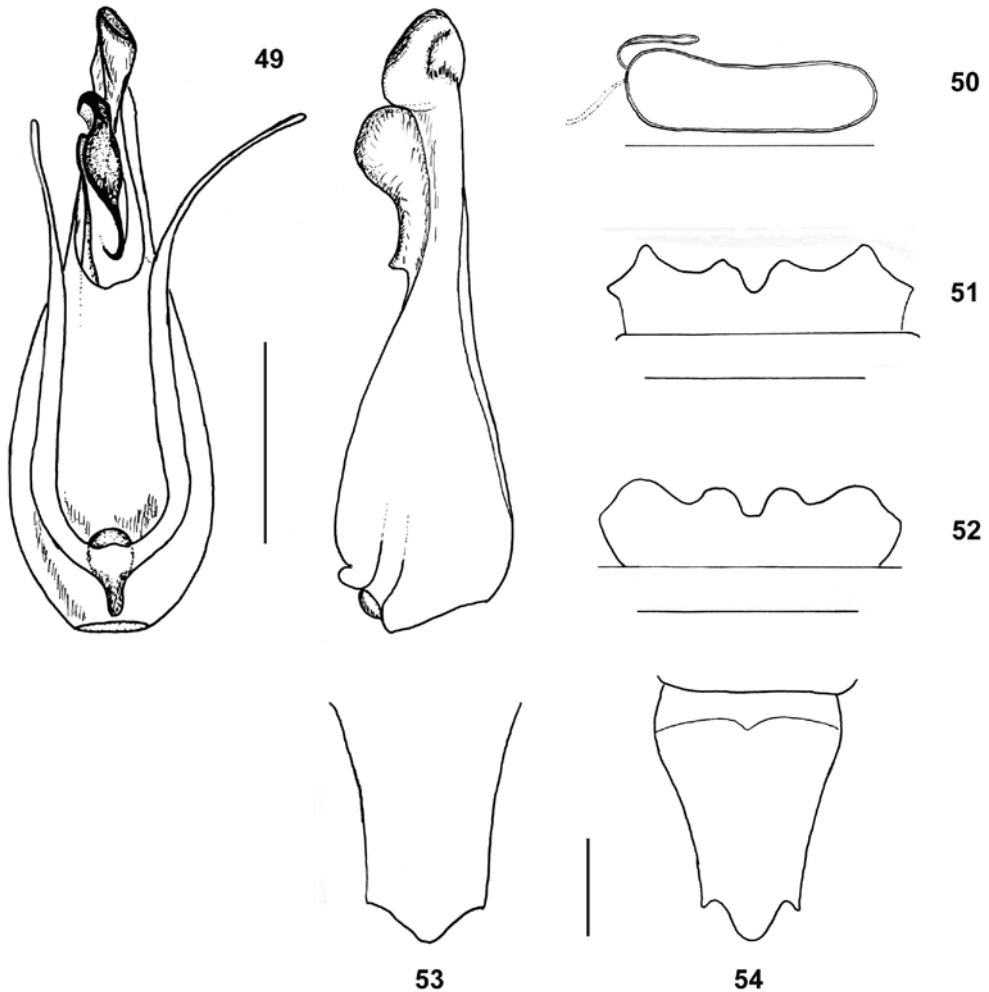


Abb. 49–54: *Oreopaederus tshamugussensis* n. sp.; 49 Aedoeagus ventral und lateral von PT, Zaire, Virunga, Mikeno; 50 Spermatheca von PT, Zaire, Sabinyo; 51 Labrum von PT (♂), 52 Labrum von PT (♀), E de Tshamugussa; 53 letztes Tergit von PT (♀), N de Rweru; 54 letztes Sternit von PT (♀), N de Rweru. Maßstäbe: 49: 0,5 mm, 50: 0,26 mm, 51–52: 0,29 mm, 53–54: 0,42 mm.

und fein behaart; sechstes Sternit mit dem üblichen Einschnitt. Letztes Tergit stumpf gerundet. Aedoeagus (Abb. 49) länglich oval, apikal mit länglichen, stumpfen Vorwölbungen, die, genau wie die aus der Öffnung tretenden, in Seitenansicht gerundet erscheinen.

♀: Letztes Tergit (Abb. 53) mit schwächer geschwungenem, letztes Sternit (Abb. 54) mit sehr deutlich geschwungenem Hinterrand. Spermatheca (Abb. 50) kurz und fast gleichmäßig dick, nur an der Eintrittsstelle der sehr schmalen Nebendrüse etwas dicker.

Differentialdiagnose: Sehr ähnlich *O. brunnescens* (Fgl.) in Gestalt und Größe, nur genitaler oder durch Feinstrukturen (z. B. Oberlippe) unterscheidbar.

Namenserklärung: Die Art wird nach einem ihrer Fundorte benannt.

#### *Oreopaederus pulcher* n. sp.

Holotypus ♂: / Lichenya Plateau 1750 m 6.XI.1981/ Coll. Mus. Tervuren Malawi South. Reg. Mount Mulanje XI. 1981 – R. Jocqué/ HOLOTYPUS ♂ *Oreopaederus pulcher* n. sp. des. Willers, 10.2001 [rotes Etikett]/.

2 Paratypen, MRAC, mit folgenden roten Etiketten: / PARATYPUS ♂ [rsp. ♀] *Oreopaederus pulcher* n. sp. des. Willers, 10.2001/.

♂ ♀: gleiche Daten wie HT.

Körperlänge 5,8 mm.

Kopf, Halsschild, Flügeldecken und Hinterleib dunkelbraun, jeweils gelblichbraun gerandet, nur das fünfte Tergit ganz dunkelbraun bis schwarz. Sternite eins bis vier gelblichbraun.

Extremitäten hell, gelblichbraun.

Kopf quer, über den kleinen Augen minimal schmäler als das Pronotum, Oberfläche sehr blank mit wenigen Borstenpunkten. Fühlerglieder acht bis zehn leicht verdunkelt. Oberlippe bei beiden Geschlechtern sehr ähnlich (Abb. 57, 58), mit schwach krenuliertem Vorder- rand, beim ♀ jedoch mit deutlicher Mittelvertiefung.

Halsschild längsoval, vorn am breitesten, Oberfläche wie beim Kopf. Scutellum hell, Elytren wie bei den vorherigen Arten geformt, die Oberfläche zwischen den borstentragenden Punkten sehr glatt.

Beine ohne Besonderheiten.

Abdomen bis zum Ende des vierten Segments erweitert, dann verengt. Oberfläche schwach chagriniert mit wenigen groben Borsten und nach hinten etwas verdichteter feiner Behaarung.

♂: Sternite zwei bis vier mit flachen Vertiefungen, deren Hinterränder bei den Sterniten drei und vier seitlich zu zahnartigen Verdickungen ausgezogen sind. Sechstes Sternit mit Einschnitt, entsprechendes Tergit

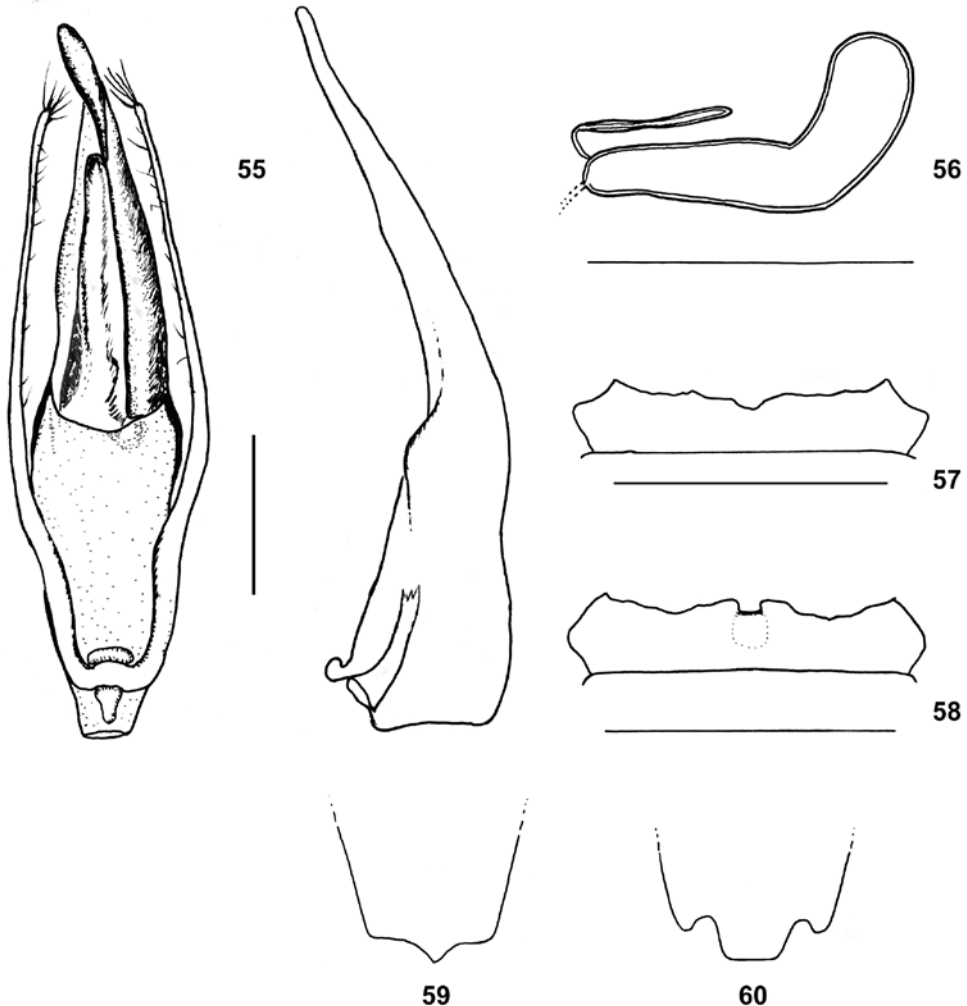


Abb. 55–60: *Oreopaederus pulcher* n. sp.: 55 Aedocagus, ventral von PT und lateral von HT, Malawi, Mt. Mulenye; 56 Spermatheca von PT, Malawi, Mt. Mulenye; 57 Labrum von PT, (♂), Mt. Mulenye; 58 Labrum von PT (♀), Malawi, Mt. Mulenye; 59 letztes Tergit von PT (♀), Malawi, Mt. Mulenye; 60 letztes Sternit von PT (♀), Malawi, Mt. Mulenye. Maßstäbe: 55: 0,3 mm, 56: 0,17 mm, 57: 0,34 mm, 58: 0,32 mm, 59–60: 0,42 mm.

einfach stumpf gerundet. Aedoeagus (Abb. 55) sehr lang und schmal, von der Mitte an stärker verjüngt, sehr schmale Internalstrukturen am oberen Ende mit dem Dorsalblatt verwachsen.

♀: Hinterrand des sechsten Tergits (Abb. 59) in der Mitte zugespitzt wie eine liegende geschweifte Klammer ({}), letztes Sternit (Abb. 60) median gerade abgestumpft mit jederseits geschwungenem Ausschnitt. Spermatheca (Abb. 56) mit schräg abgewinkeltem Ende, am gegenüberliegenden Ende eine sehr dünne Nebendrüse inserierend.

Differentialdiagnose: Ähnlich *O. minutissimus* (Bh.) und *O. thsibindensis* (Fgl.); von diesen durch die seitlichen Aufhellungen, den eckigeren Hinterkopf, das größere Pronotum und durch die Geschlechtsmerkmale leicht unterscheidbar.

Namenserklärung: Die Art wird nach ihrer hübschen Farbgebung (lat. pulcher: schön) benannt.

#### ***Oreopaederus dedzaensis* n. sp.**

Holotypus ♂: / Coll. Mus. Tervuren Malawi: Mt. Dedza 10.XI.1977 R. Jocqué/ HOLOTYPUS ♂ *Oreopaederus dedzaensis* n. sp. des. Willers, 10.2001 [rotes Etikett]/. 7 Paratypen, MRAC, mit folgenden roten Etiketten: / PARATYPUS ♂ [rsp. ♀] *Oreopaederus dedzaensis* n. sp. des. Willers, 10.2001/.

3 ♂♂, 4 ♀♀: gleiche Daten wie HT.

Körperlänge: 4,9 mm.

Sehr grazile Art, Kopf und zwei letzte Abdominalsegmente schwarz, Flügeldecken dunkelbraun. Extremitäten, Pronotum und vordere Hinterleibssegmente gelblichbraun. Die ganze Oberfläche glatt und glänzend, nur der Hinterleib chagriniert. Vorletzte Antennenglieder, Pronotummitte und Schenkelspitzen schwach angedunkelt. Labrum beim ♂ mit halbmondförmigem Vorderrand (Abb. 63), dieser in der Mitte sehr flach ausgeschnitten, Mandibeln (Abb. 63) mit kleiner Schneidkante vor der Spitze. Labrum beim ♀ (Abb. 64) mit buchtig krenuliertem Vorderrand.

Scutellum hell; Pronotum, Elytren, Beine und Abdomen ohne Besonderheiten.

♂: Sternite zwei bis vier mit zunehmend tieferen Eindrücken, deren hintere Seitenabgrenzungen verdichtet borstet sind. Fünftes, dunkles Sternit ohne Markierungen, sechstes mit Einschnitt. Aedoeagus (Abb. 61)

länglich, schmal mit plötzlicher Erweiterung oberhalb der Mitte. An dieser Stelle läßt eine kleine ovale Öffnung komplizierte Internalstrukturen erkennen. Apikal vereinigen sich Ventral- und Dorsalblatt zu einer scharfen Mittelkante. Aedoeagus in Seitenansicht unauffällig, leicht gebogen.

♀: Letztes Tergit (Abb. 65) rund, letztes Sternit (Abb. 66) gerade endend. Spermatheca (Abb. 62) gleichbleibend schmal, schwach abgewinkelt mit sehr schmaler Nebendrüse.

Differentialdiagnose: Sehr ähnlich *O. bernhaueri* (Fgl.) und *O. obscuripennis* (Fgl.), aber kleiner als beide. Im Gegensatz zu *O. obscuripennis* sind Kopf und Schenkelspitzen deutlich dunkler.

Namenserklärung: Die Art wird nach ihrem Fundort benannt.

#### ***Oreopaederus mulanjensis* n.sp.**

Holotypus ♂: / West Peak 2850 m 18.XI.1981/ Coll. Mus. Tervuren Malawi South. Reg. Mount Mulanje XI.1981 – R. Jocqué/ HOLOTYPUS ♂ *Oreopaederus mulanjensis* n. sp. des. Willers, 10.2001 [rotes Etikett]/. 5 Paratypen, MRAC, mit folgenden roten Etiketten: / PARATYPUS ♂ [rsp. ♀] *Oreopaederus mulanjensis* n. sp. des. Willers, 10.2001/.

1 ♂, 3 ♀♀: same label as HT.

♀: / Sapitwa – Peak red route, 2800 m. 12.XI.1981/ Coll. Mus. Tervuren Malawi South. Reg. Mount Mulanje XI.1981 – R. Jocqué/.

Körperlänge: 5,0 mm.

Ganz schwarze Art, nur Körperanhänge teilweise aufgehellt. Kopf etwas breiter als lang, genauso breit wie das Pronotum; Augen kürzer als die Schläfen. Oberfläche von Kopf und Halsschild glatt und glänzend, die der Elytren sehr undeutlich chagriniert, die des Abdomens fein quermaschig. Fühlerglieder eins, zwei und elf, Mandibeln und Beine leicht aufgehellt.

Oberlippe beim ♂ (Abb. 69) weitgehend gleichbreit, nur mit seichtem Mittelausschnitt, beim ♀ (Abb. 70) mit stärker vorstehenden Außenecken, deutlicher krenuliertem Vorderrand und tieferem Mittelausschnitt.

Halsschild, Flügeldecken und Beine ohne morphologische Besonderheiten.

♂: Sternite zwei bis vier mit kaum sichtbarer Verflachung in der Mitte, sechstes Sternit mit dem üblichen Ausschnitt. Aedoeagus (Abb. 67) ausgesprochen lang,

dünn und zugespitzt. Die Parameren an der Basis weit um den Zentralkörper des Aedoeagus herumgezogen, bis sie nach oben abschnellen. Oberhalb der Mitte treten längliche, schmale Internalarmaturen aus der Öffnung. Spitze des Aedoeagus seitlich verschwungen. In Lateralansicht doppelt gebogen.

♀: Sechstes Tergit (Abb. 71) einfach stumpf gerundet. Sechstes Sternit (Abb. 72) seitlich stark geschwungen

ausgeschnitten, in der Mitte langlappig vorgezogen. Spermatheca (Abb. 68) vom dickeren Ende (mit der sehr schmalen Nebendrüse) bis zum vorletzten Viertel verjüngt; hier fast rechtwinklig nach oben abgelenkt.

Differentialdiagnose: Am ähnlichsten *O. kahuziensis* (Fgl.), von diesem aber leicht durch die dunkleren Fühler und Beine unterscheidbar.

Namenserklärung: Die Art wird nach ihrem Fundort benannt.

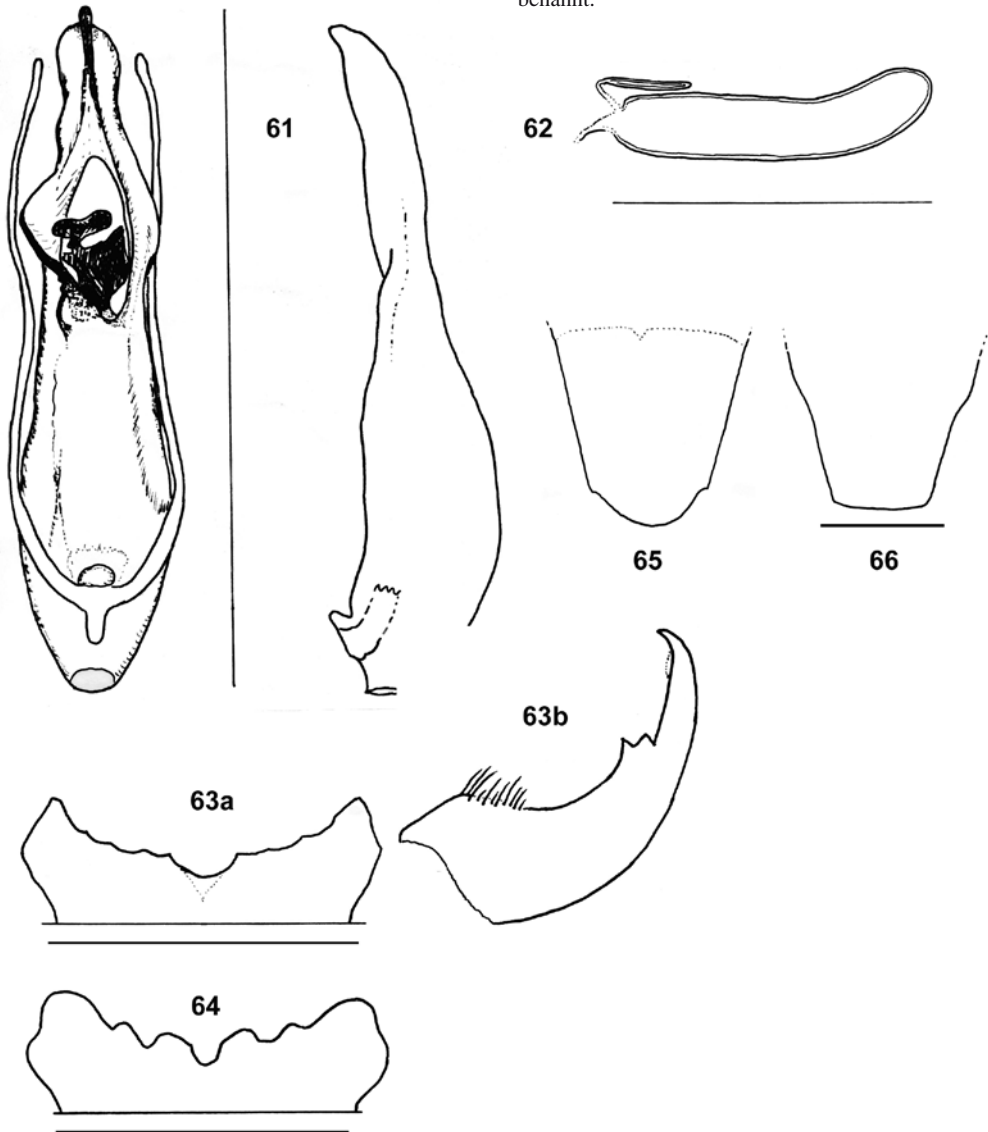


Abb. 61–66: *Oreopaederus dedzaensis* n. sp.; 61 Aedoeagus, ventral und lateral von HT, Mt. Dedza; 62 Spermatheca von PT, Mt. Dedza; 63a Labrum und b rechte Mandibel von PT, (♂), Mt. Dedza; 64 Labrum von PT (♀), Mt. Dedza; 65 letztes Tergit von PT (♀), Mt. Dedza; 66 letztes Sternit von PT (♀), Mt. Dedza. Maßstäbe: 61: 1,21 mm, 62: 0,18 mm, 63: 0,32 mm, 64: 0,29 mm, 65–66: 0,32 mm.

*Oreopaederus lichenyaensis* n. sp.

Holotypus ♂: / Lichenya Plateau 2000 m. 4/9XI.1981/  
Coll. Mus. Tervuren Malawi South. Reg. Mount Mu-  
lanje XI.1981 – R. Jocqué/ HOLOTYPUS ♂ *Oreopae-  
derus lichenyaensis* n. sp. des. Willers, 10.2001 [rotes  
Etikett]/.

2 Paratypen, MRAC, mit folgenden roten Etiketten:  
/ PARATYPUS ♂ [rsp. ♀] *Oreopaederus lichenyaensis*  
n. sp. des. Willers, 10.2001/.

♂ ♀: gleiche Daten wie HT.

Körperlänge: 4,9 mm.

Kleine, bis auf die Körperanhänge vollkommen  
schwarze Art. Kopf so lang wie breit, schmaler als das

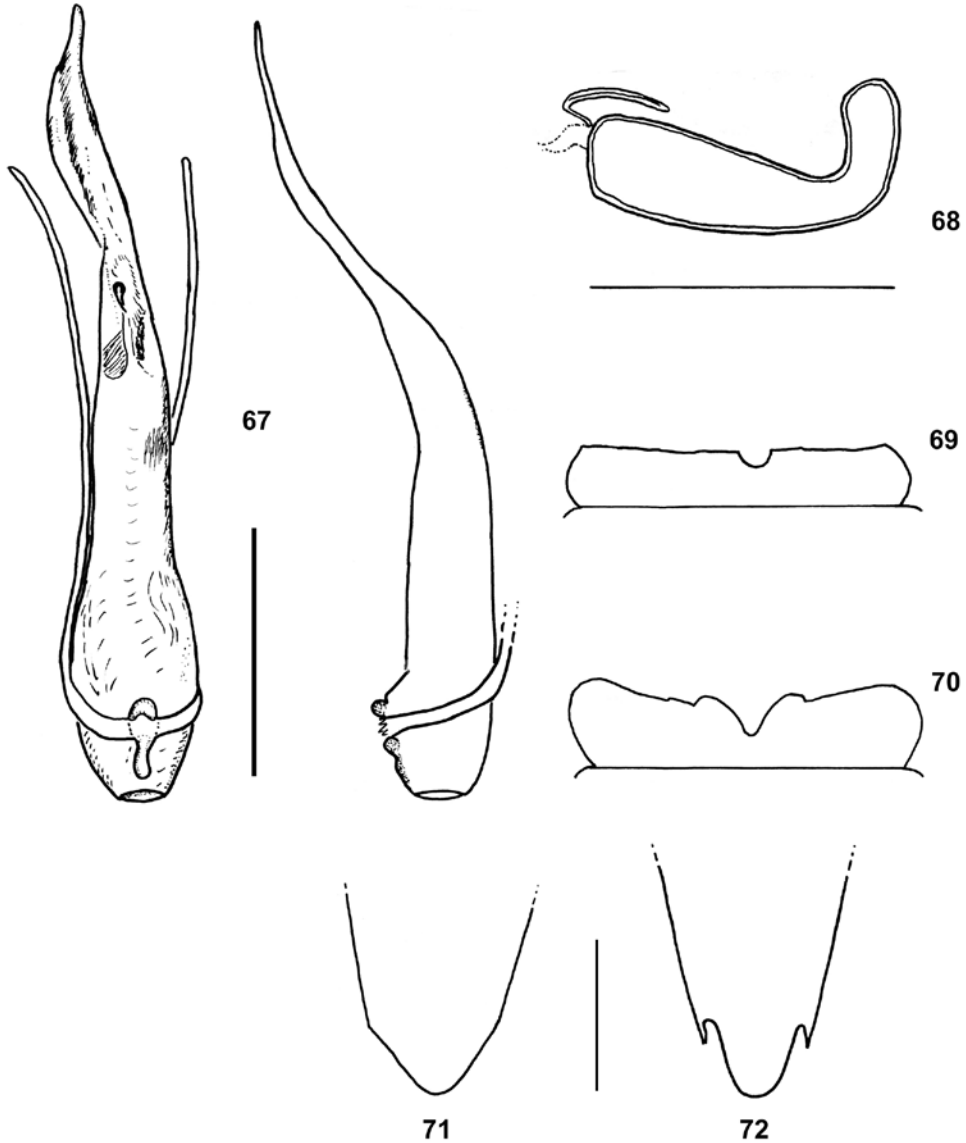


Abb. 67–72: *Oreopaederus mulanjensis* n.sp.; 67 Aedoeagus, ventral und lateral von PT, Malawi, Mt. Mulanje; 68 Spermatheca von PT, Malawi, Mt. Mulanje; 69 Labrum von PT (♂), Malawi, Mt. Mulanje; 70 Labrum von PT (♀), Malawi, Mt. Mulanje; 71 letztes Tergit von PT (♀), Malawi, Mt. Mulanje; 72 letztes Sternit von PT (♀), Malawi, Mt. Mulanje. Maßstäbe: 67: 0,42 mm, 68: 0,15 mm, 69–70: ohne, 71–72: 0,34 mm.



Pronotum. Kopf und Halsschild mit glatter, glänzender Oberfläche, Schildchen, Flügeldecken und Hinterleib mit sehr feinem Querchagrin. Alle Extremitäten gleichmäßig gelb. Oberlippe beim ♂ (Abb. 75) von den Außenecken bis zu einer kleinen vorstehenden Mittelspitze verschmälert, der Vorderrand äußerst fein krenuliert, Mandibel (Abb. 75) mit sehr kleinem zweispitzigen Mittelzahn und am Ende leicht nach innen gebogener Spitze. Beim ♀ Labrum (Abb. 76) viel stärker ausgebuchtet mit gerundetem Mitteleinschnitt.

Pronotum deutlich länger als breit. Flügeldecken, Hinterleib und Gliedmaßen ohne morphologische Besonderheiten.

♂: Sternite zwei bis fünf in der Mitte mit flacher Mulde. Diese median glatt und seitlich dichter punktiert und behaart. Aedoeagus (Abb. 73) länglich zugespitzt, unterhalb der Mitte mit Einschnürung. Oberhalb der Mitte läßt eine Öffnung schrägliegende Längsstrukturen erkennen. In Lateralansicht (Abb. 73) recht gleichmäßig zur Spitze verjüngt.

♀: Hinterrand des letzten Tergits (Abb. 77) lateral ganz leicht geschwungen ausgeschnitten und in der Mitte stumpf vorgewölbt. Letztes Sternit (Abb. 78) sehr ähnlich, aber ohne die seitlichen geschwungenen Ausschnitte. Spermatheca (Abb. 74) länglich, in der Mitte wenig breiter als am Ende der sehr schmalen Nebendrüse, das

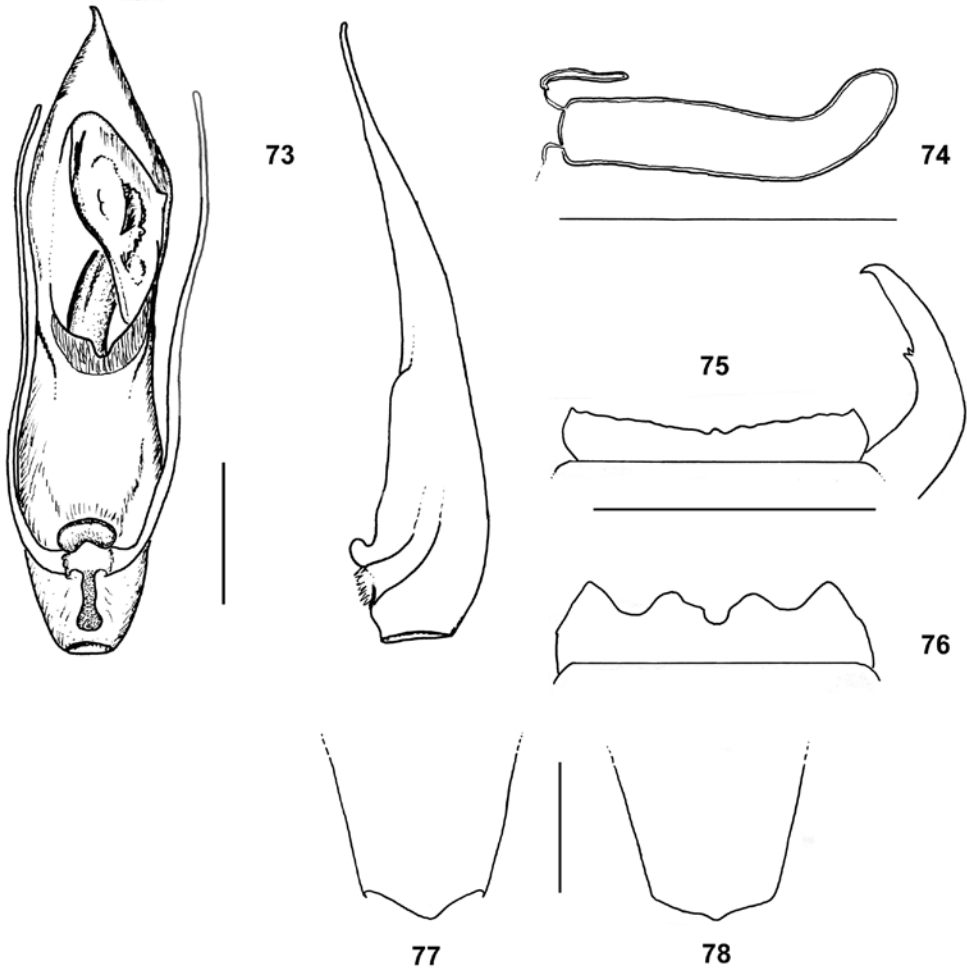


Abb. 73–78: *Oreopaederus lichenyaensis* n. sp., 73 Aedoeagus, ventral und lateral von HT, Malawi, Mulanje, Lichenya Plateau; 74 Spermatheca von PT, Malawi, Mulanje, Lichenya Plateau; 75 Labrum und rechte Mandibel von HT (♂); 76 Labrum von PT (♀), Malawi, Mulanje, Lichenya Plateau; 77 letztes Tergit von PT (♀), Malawi, Mt. Mulanje, Lichenya Plateau; 78 letztes Sternit von PT (♀), Malawi, Mt. Mulanje, Lichenya Plateau. Maßstäbe: 73: 0,26 mm, 74: 0,19 mm, 75–76: 0,26 mm, 77–78: 0,42 mm.

gegenüberliegende Ende schwach nach oben gebogen. Differentialdiagnose: Fast nur durch primäre oder sekundäre Geschlechtsmerkmale von *O. kahuziensis* (Fgl.), der etwas größer ist, zu unterscheiden. Auch der vorher beschriebenen Art *O. mulanjensis* n. sp. sehr ähnlich. Namensklärung: Die Art wird nach ihrem Fundort benannt.

***Oreopaederus kasarambaensis* n. sp.**

Holotypus ♂: / near Kasaramba 2400 m 13.XII.1981/ Coll. Mus. Tervuren Malawi North. Reg. Nyika Plateau XII.1981-R. Jocqué/ HOLOTYPUS ♂ *Oreopaederus kasarambaensis* n. sp. des. Willers, 10.2001 [rotes Etikett]/.

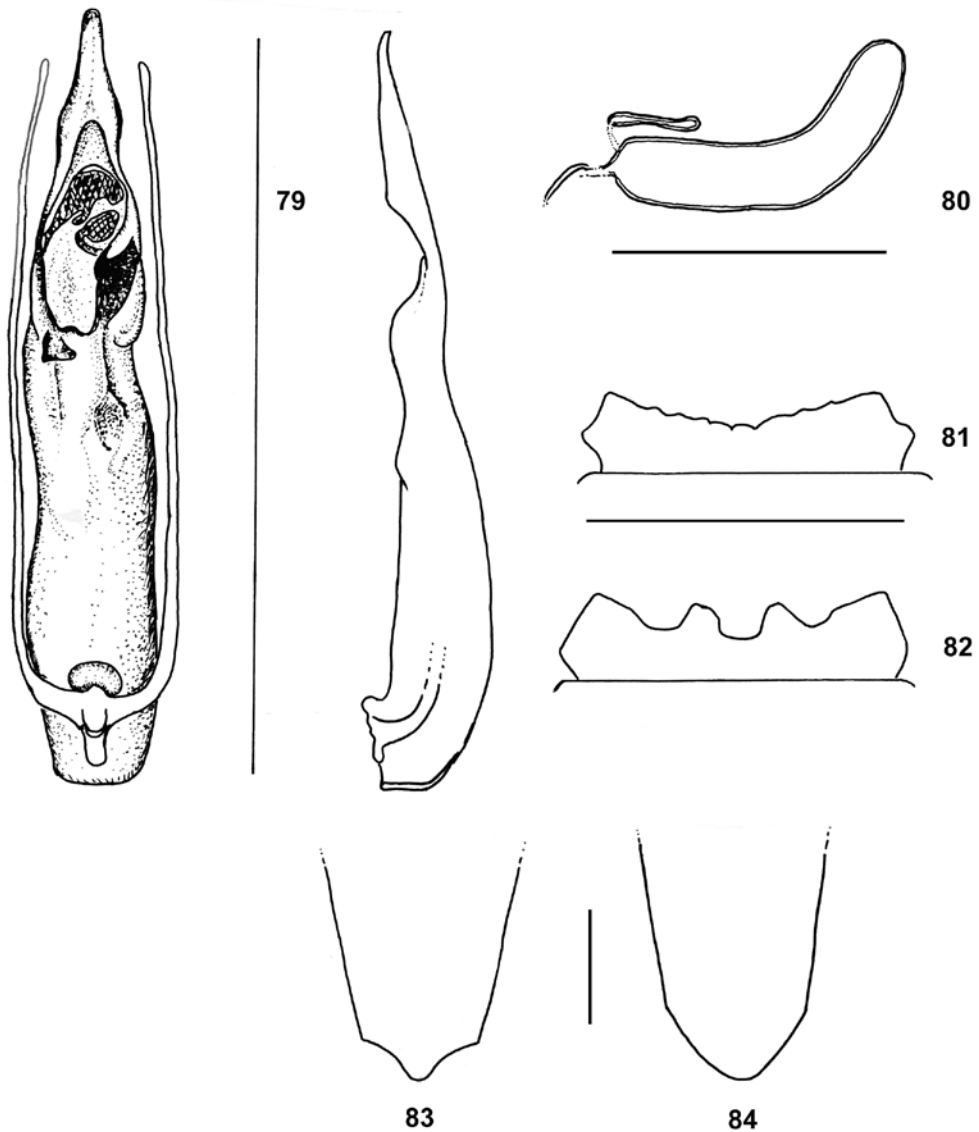


Abb. 79–84: *Oreopaederus kasarambaensis* n. sp.; 79 Aedoeagus, ventral und lateral von HT, Malawi, Nyaka Plateau near Kasaramba; 80 Spermatheca von PT, Malawi, Nyaka Plateau near Kasaramba; 81 Labrum von HT (♂); 82 Labrum von PT (♀), Malawi, Nyaka Plateau near Kasaramba; 83 letztes Tergit von PT (♀), Malawi, Nyaka Plateau near Kasaramba; 84 letztes Sternit von PT (♀), Malawi, Nyaka Plateau near Kasaramba. Maßstäbe: 79: 1,65 mm, 80: 0,21 mm, 81–82: 0,32 mm, 83–84: 0,37 mm.

4 Paratypen, MRAC, mit folgenden roten Etiketten:  
/ PARATYPUS ♀ *Oreopaederus kasarambaensis* n. sp.  
des. Willers, 10.2001/.

3 ♀ ♀: gleiche Daten wie HT.

♀: / Mwenembwe 2300-2400 m. 17.XII.1981/ Coll.  
Mus. Tervuren Malawi North. Reg. Nyika Plateau XII-  
981-R. Jocqué/.

Körperlänge: 6,6 mm.

Kopf und Flügeldecken mittel bis dunkelbraun, Scheitel mit Aufhellungen zwischen den Augen. Pronotum und Hinterleib gelblichbraun mit medianen Verdunkelungen, die beiden letzten Segmente mittelbraun mit helleren Vorder- und Hinterrändern.

Kopf minimal breiter als lang, Augen kleiner als die nach hinten leicht konvergierenden Schläfen. Oberfläche von Kopf und Halsschild sehr glatt und glänzend mit wenigen Borstenpunkten. Taster gelblich wie die Fühler, diese mit vier bis fünf verdunkelten vorletzten Gliedern.

Oberlippe beim ♂ (Abb. 81) sehr viel feiner krenuliert als beim ♀ (Abb. 82), hier mit sehr buchtigem Vorder- rand des Labrums. Mandibeln ohne Besonderheiten. Pronotum auffallend gestreckt längsoval. Schildchen querchagriniert mit dunkleren Rändern. Die Elytren mit fast verschwundenen Schultern nach hinten divergierend, mit wenigen groben und zahlreicheren feinen Porenpunkten und sehr schwachem Chagrin. Beine unauffällig. Oberfläche des Abdomens überall deutlich querchagriniert, sonst ohne Besonderheiten.

♂: Freiliegende Sternite zwei bis vier mit schwachem, glattem Mitteleindruck, das fünfte kaum merklich vertieft, das sechste mit dem üblichen Mitteleinschnitt. Aedoeagus (Abb. 79) lang und schmal, die präapikale Öffnung mit komplizierten Internalstrukturen. Lateral in Höhe der Ventralöffnung deutlich verschmälert.

♀: Hinterrand des letzten freiliegenden Tergits (Abb. 83) geschwungen ausgeschnitten mit rundlichem Mittelvorsprung; letztes Sternit (Abb. 84) einfach oval abgerundet. Spermatheca (Abb. 80) klein, gleichbreit mit ca. 45° abgewinkeltem Ende. Nebendrüse schmal und in der Mitte verengt.

Differentialdiagnose: Durch die Färbung und das gestreckte Pronotum recht markant, aber mit *O. subnitidicollis* (Bh.) verwechselbar, dieser aber mit schwächer vertieften Sterniten beim ♂.

Namenserklärung: Die Art wird nach einem ihrer Fundorte benannt.

### *Oreopaederus sapitwaensis* n. sp.

Holotypus ♂: / West Peak 2850 m 18.XI.1981/ Coll. Mus. Tervuren Malawi South. Reg. Mount Mulanje XI.1981 – R. Jocqué/ HOLOTYPUS ♂ *Oreopaederus sapitwaensis* n. sp. des. Willers, 10.2001 [rotes Etikett]/.

7 Paratypen, MRAC, mit folgenden roten Etiketten:  
/ PARATYPUS ♂ [resp. ♀] *Oreopaederus sapitwaensis* n. sp. des. Willers, 10.2001/.

♀: gleiche Daten wie HT.

♂: / Chisepo-shelter 2150 m 12/13.XI.1981/ Coll. Mus. Tervuren Malawi South. Reg. Mount Mulanje XI.1981 – R. Jocqué/.

2 ♀ ♀: / Sapitwa-Peak red route, 2800 m. 2.XI.1981/ Coll. Mus. Tervuren Malawi South. Reg. Mount Mulanje XI.1981 – R. Jocqué/.

1 ♂, 2 ♀ ♀: / Sapitwa-Peak red route, 2800 m. 12.XI.1981/ Coll. Mus. Tervuren Malawi South. Reg. Mount Mulanje XI.1981 – R. Jocqué/.

Körperlänge: 6,2 mm.

Der ganze Körper dunkelbraun bis schwarz. Nur die ersten zwei und das letzte Fühlerglied, Mandibeln, Taster- spitzen und Tarsen gelblich, die Schenkelbasen schwach aufgehell. Kopf etwas breiter als lang und schmaler als das Pronotum, dieses kurz hinter den stumpfen Vorderecken am breitesten. Oberfläche von Kopf und Halsschild glatt und glänzend mit groben und feinen Borstenpunkten. Oberlippe beim ♂ (Abb. 87) mit fast glattem Vorderrand, die Seitenecken als winzige Spitze vorstehend. Labrum des ♀ (Abb. 88) mit tiefem, rundlichem Mitteleinschnitt und deutlichen Ausbuchtungen. Schildchen querchagriniert; Flügeldecken wie üblich mit geschwundenen Schultern nach hinten erweitert, mit schwächer chagriniertes, durch feine und grobe Porenpunkte etwas runzliger Oberfläche. Beine ohne Auffälligkeiten.

Abdomen mit deutlich querchagriniertes Oberfläche und der üblichen Punktierung und Behaarung.

♂: Sternite zwei bis fünf in der Mitte mit glatter Vertiefung, diese beim vierten Sternit am deutlichsten mit zähnenartig vorstehenden Rändern, sechstes mit Ausschnitt. Aedoeagus (Abb. 85) länglich mit in Ventralansicht stumpf gerundeter Spitze. Seiten des Aedoeagus in Höhe der ovalen Ventralöffnung, oberhalb der Mitte, etwas erweitert. Eine längliche, gebogene Internalstruktur ist in Ventralansicht apikal nach links abgewinkelt.

In Lateralansicht erscheint diese Struktur als präapikaler Vorsprung. Eine knotenförmige Verdickung ist in der Mitte unterhalb der Ventralöffnung sichtbar.

♀: Letztes Tergit (Abb. 89) stumpf dreieckig, letztes Sternit (Abb. 30) sehr gerade abgeschnitten mit sehr flachem Mittelvorsprung. Spermatheca (Abb. 86) schmal und gleichbreit mit hakenförmig umgebogenem Ende und kleiner, länglich ovaler Nebendrüse am anderen Ende.

Differentialdiagnose: Am ähnlichsten der oben beschriebenen Art *O. mulanjensis* n. sp. aus Malawi, diese jedoch mit schmalere Pronotum, dunkleren Tarsen und beim ♀ lappig vorgezogenem letzten freiliegenden Sternit (Abb. 72).

Namenserklärung: Die Art wird nach einem ihrer Fundorte benannt.

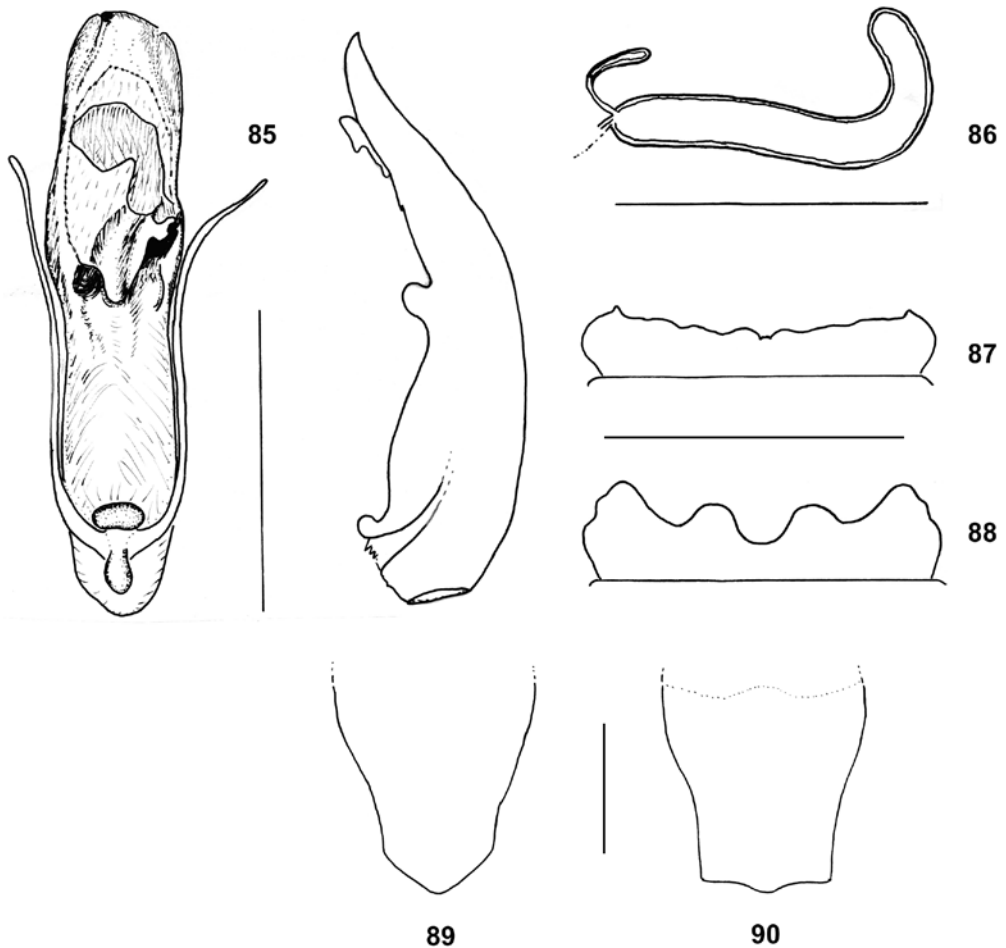


Abb. 85-90: *Oreopaederus sapitwaensis* n. sp.; 85 Aedeagus, ventral von PT, Malawi, Mt. Mulanje, Chisepo Shelter, Aedeagus, lateral von PT, Malawi, Mt. Mulanje, Sapitwa Peak; 86 Spermatheca von PT, Malawi, Mt. Mulanje, Sapitwa Peak; 87 Labrum von HT (♂), 88 Labrum von PT (♀), Malawi, Mt. Mulanje, Sapitwa Peak; 89 letztes Tergit von PT (♀), Malawi, Mt. Mulanje, Sapitwa Peak; 90 letztes Sternit von PT (♀), Malawi, Mt. Mulanje, Sapitwa Peak. Maßstäbe: 85: 0,7 mm, 86: 0,20 mm, 87-88: 0,32 mm, 89-90: 0,37 mm.

***Oreopaederus makhutulaensis* n. sp.**

Holotypus ♂: / Thuchila 11.XI.1981/ Coll. Mus. Tervuren Malawi South. Reg. Mount Mulanje XI.1981-R. Jocqué/ HOLOTYPUS ♂ *Oreopaederus makhutulaensis* n. sp. des. Willers, 10.2001 [rotes Etikett]/.

4 Paratypen, MRAC, mit folgenden roten Etiketten:  
/ PARATYPUS ♀ *Oreopaederus makhutulaensis* n. sp. des. Willers, 10.2001/.

3 ♀ ♀: / Makhutula-stream 10.XI.1981/ Coll. Mus. Tervuren Malawi South. Reg. Mount Mulanje XI.1981-R. Jocqué/.

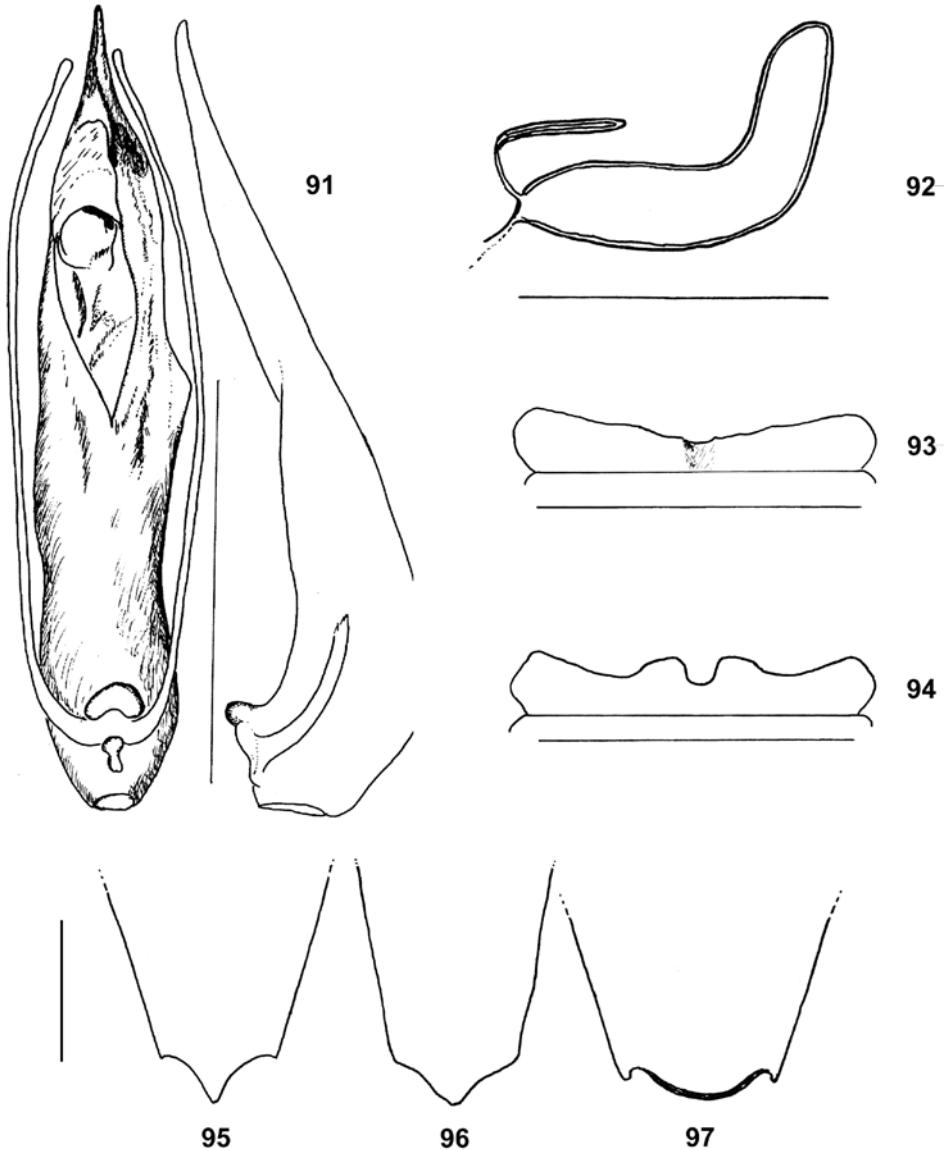


Abb. 91-97: *Oreopaederus makhutulaensis* n. sp.: 91 Aedeagus, ventral und lateral von HT, 92 Spermatheca von PT, Malawi, Makhutula-stream; 93 Labrum von HT (♂); 94 Labrum von PT (♀), Malawi, Makhutula-stream; 95 letztes Tergit von HT (♂); 96 letztes Tergit von PT (♀), Malawi, Makhutula-stream; 97 letztes Sternit von PT (♀), Malawi, Makhutula-stream.

Maßstäbe: 91: 0,78 mm, 92: 0,18 mm, 93: 0,45 mm, 94-97: 0,37 mm.

♀: / West Peak 2850 m 18.XI.1981/ Coll. Mus. Tervuren Malawi South. Reg. Mount Mulanje XI.1981-R. Jocqué/. Körperlänge 6,6 mm.

Der ganze Körper und alle Extremitäten hellbraun, nur die letzten beiden freiliegenden Abdominalsegmente etwas dunkler.

Kopf quer, über den kleinen Augen wenig schmaler als das Pronotum mit im Bogen verrundeten Schläfen. Halsschild länger als breit. Kopf, Halsschild und Flügeldecken ohne feine Porenpunkte, nur mit groben Punkten, die lange schwarze Borsten tragen. Oberfläche von Kopf und Pronotum glatt und glänzend, die der kleinen, nach hinten divergierenden Flügeldecken schwach chagriniert und etwas runzlig, die des Scutellums deutlicher chagriniert.

Hinterleib bis zum vierten Segment erweitert, sehr fein querwellig chagriniert und mit groben Borsten und nach hinten verdichteten feinen Haaren besetzt.

♂: Labrum (Abb. 93) schmal mit undeutlicher Mittelvertiefung, fast geradlinigem Vorderrand und verrundeten Seitenecken. Letztes Tergit zugespitzt (Abb. 95). Sternite zwei bis fünf mit flacher medianer Vertiefung (Sternit fünf nur basal), die Vertiefung dicht, kurz, schwarz beborstet. Sechstes Sternit mit dem üblichen Einschnitt. Aedoeagus (Abb. 91) länglich, schmal, apikal zugespitzt. In Ventralansicht in der Mitte mit rechtsseitigem Vorsprung. Die schmale Ventralöffnung in der Aedoeagusoberhälfte mit undeutlicher länglicher Internalstruktur.

♀: Oberlippe (Abb. 94) mit tiefem rundlichen Mittelausschnitt, zu den etwas vorstehenden, rundlichen Seitenecken geschwungen verlaufend. Letztes freiliegendes Tergit (Abb. 96) ähnlich wie das des ♂, aber schwächer zugespitzt. Hinterrand des entsprechenden Sternits (Abb. 97) in gleichmäßig gerundetem Bogen vorstehend. Spermatheca (Abb. 92) am Ende der gleichmäßig schmalen Nebendrüse etwas stärker verdickt als am ca. 95° abgewinkelten gegenüberliegenden Ende.

Differentialdiagnose: In Größe und Farbe ähnlich *O. furciferoides* (Fgl.), dieser jedoch deutlich graziler und beim ♀ mit sehr lang zugespitztem sechsten Tergit.

Namenserklärung: Die Art wird nach einem ihrer Fundorte benannt.

### *Oreopaederus jocquei* n. sp.

Holotypus ♂: / Chisepo-shelter 2150 m 12/13.XI.1981/ Coll. Mus. Tervuren Malawi South Reg. Mount Mulanje XI.1981-R. Jocqué/ HOLOTYPUS ♂ *Oreopaederus jocquei* n. sp. des. Willers, 10.2001[rotes Etikett]/.

1 paratype, MRAC, with following rotes Etikett:

PARATYPUS ♀ *Oreopaederus jocquei* n. sp. des. Willers, 10.2001/.

♀: gleiche Daten wie HT.

Körperlänge 5,0 mm.

Der ganze Körper pechschwarz, nur die Extremitäten aufgehellt. Vorletztes Kiefertasterglied und fünf vorletzte Fühlerglieder dunkelbraun, alle anderen Anhänge hellbraun bis gelblich. Kopf etwas länger als breit und minimal schmaler als das Pronotum. Schläfen beim ♀ stärker, beim ♂ schwächer verrundet. Halsschild oval, vorn am breitesten; Oberfläche von Kopf und Halsschild glatt und glänzend. Kopf mit groben und sehr wenigen feinen Borsten, Halsschild nur mit groben Borsten. Scutellum querchagriniert.

Flügeldecken sehr schmal mit gänzlich geschwundenen Schultern und angedeutetem welligen Chagrin neben den tiefen borstentragenden Punkten. Feine Borstenpunkte auf den Elytren vorhanden. Hinterleib erst nach hinten erweitert, vom fünften Segment an verengt. Oberfläche mit groben und nach hinten verdichteten feinen Borsten und deutlichem Querchagrin. Beine ohne weitere Besonderheiten.

♂: Labrum (Abb. 100) mit kleinem Mittelvorsprung, schwach krenuliertem Vorderrand und deutlich vorstehenden Seitenecken. Sternite drei und vier sehr schwach, das fünfte etwas tiefer eingedrückt, die Vertiefungen glatt und glänzend, am Rand dichter kurz beborstet als die Umgebung. Aedoeagus (Abb. 98) länglich, schmal, präapikal leicht erweitert und schräg zugespitzt. Die große Ventralöffnung in der Oberhälfte läßt eine längliche, schräg abgestutzte Internalstruktur erkennen.

♀: Oberlippe (Abb. 101) mit tiefer Mittelausbuchtung und zu den deutlich vorstehenden Seitenecken hin mit geschwungenem Vorderrand. Letztes freiliegendes Tergit (Abb. 102) mit geschwungenem Hinterrand, in der Mitte rundlich vorgewölbt. Letztes Sternit (Abb. 103) sehr ähnlich, etwas deutlicher geschwungen und stärker in der Mitte vorgezogen. Spermatheca (Abb.

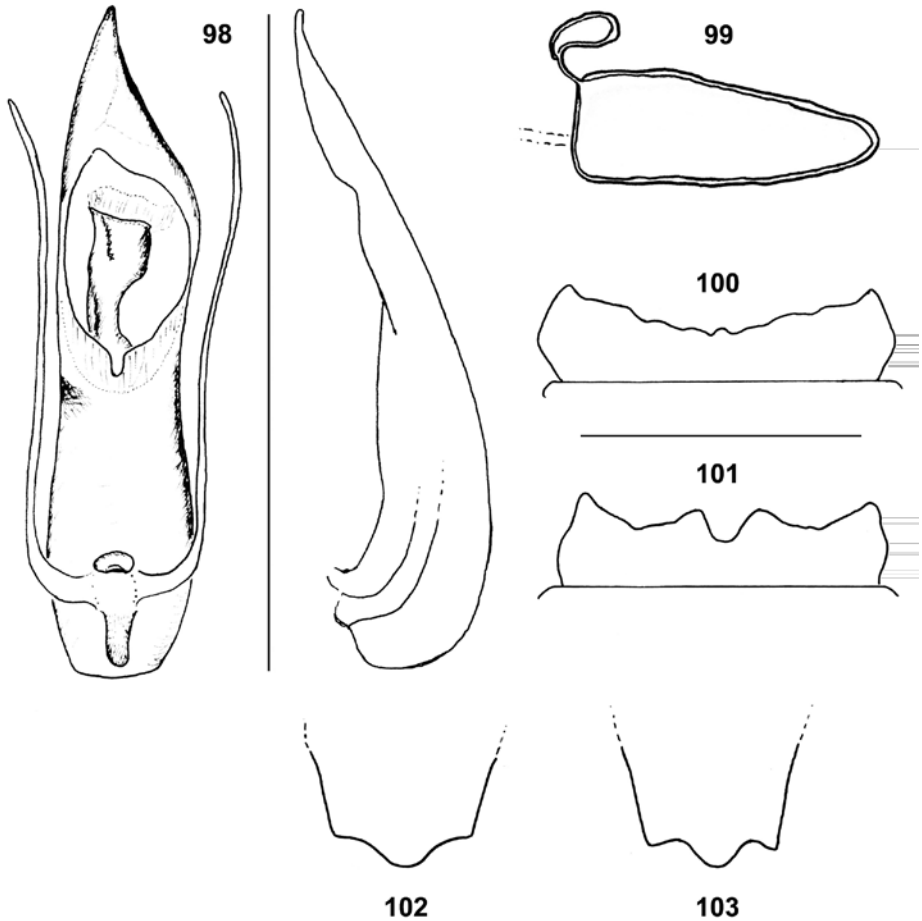


Abb. 98–103: *Oreopaederus jocquei* n. sp.; 98 Aedeagus, ventral und lateral von HT; 99 Spermatheca von PT, Malawi, Mt. Mulanje, Chisepo shelter; 100 Labrum von HT (♂); 101 Labrum von PT (♀), Malawi, Mt. Mulanje, Chisepo shelter; 102 letztes Tergit von PT (♀), Malawi, Mt. Mulanje, Chisepo shelter; 103 letztes Sternit von PT (♀), Mt. Mulanje, Chisepo shelter. Maßstäbe: 98: 1,2 mm, 99, 102–103: ohne, 100–101: 0,25 mm.

99) kurz, kegelförmig. Am stumpfen Ende eine kleine kurzovale Nebendrüse inserierend. (Die Spermatheca war in einem Einbettungsmittel auf einem durchsichtigen Plättchen unterhalb des Paratypus montiert, ist aber vom Plättchen abgesprungen und verloren gegangen).

Differentialdiagnose: Von *O. ngoviensis* Fgl. und *O. kahuziensis* Fgl. durch den dunkleren Körper und dunklere Anhänge zu unterscheiden.

Namenserklärung: Die Art wird nach ihrem Sammler benannt.

#### *Oreopaederus zombaensis* n. sp.

Holotypus ♂, MNHUB: / Africa: Malawi-s Zomba-Plateau 1500 m 15.3.1991 leg. C. Bayer/ HOLOTYPUS ♂ *Oreopaederus zombaensis* n. sp. des. Willers, 10.2001 [rotes Etikett]/.

6 Paratypen, MNHUB, mit folgenden roten Etiketten: / PARATYPUS ♂ [resp. ♀] *Oreopaederus zombaensis* n. sp. des. Willers, 10.2001/.

2 ♂♂, 3 ♀♀: gleiche Daten wie HT [Sammeldatum unleserlich].

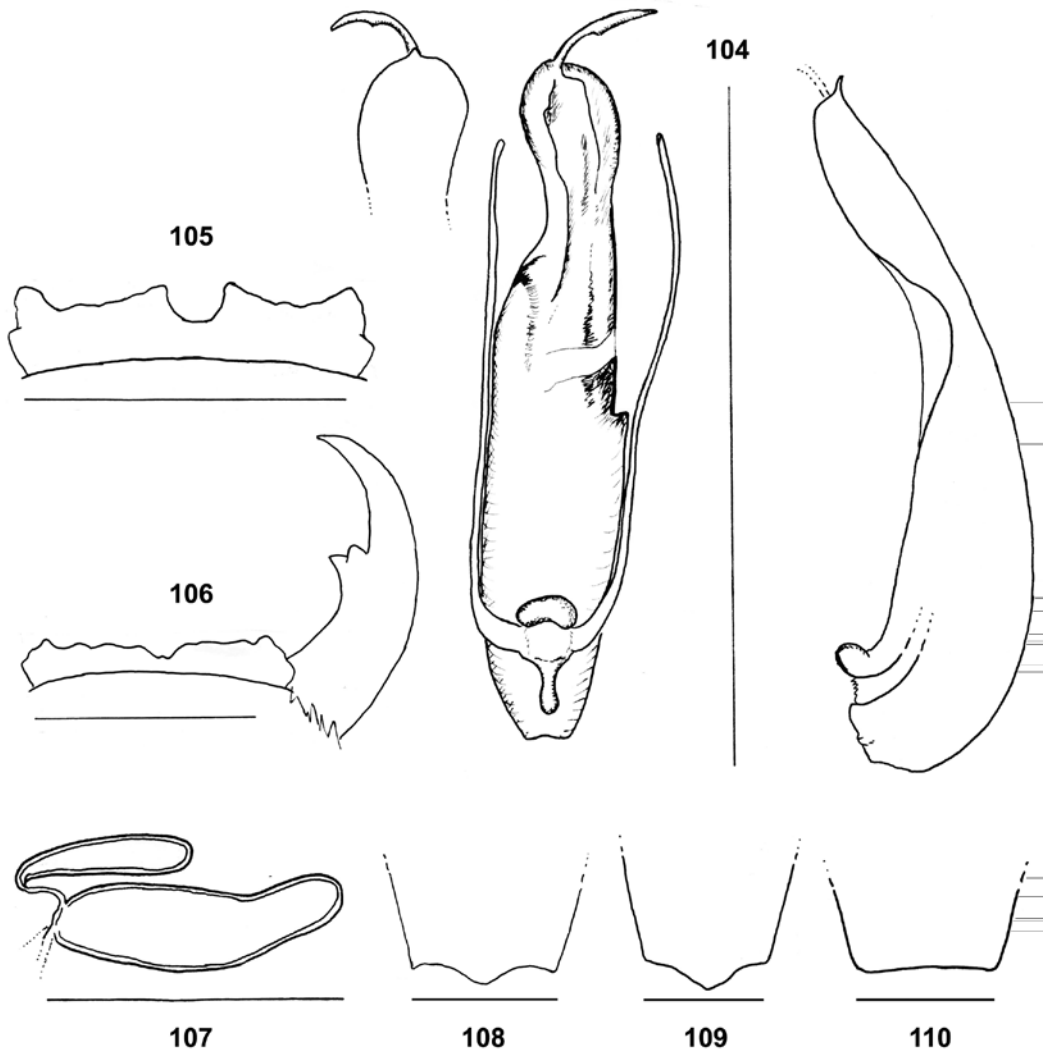


Abb. 104–110: *Oreopaederus zombaensis* n. sp.; 104 Aedoeagus, ventral und lateral von HT; 105 Labrum von PT (♀), Malawi- S, Zomba-Plateau; 106 Labrum und rechte Mandibel von PT (♂), Malawi- S, Zomba-Plateau; 107 Spermatheca von PT, Malawi- S, Zomba-Plateau; 108 letztes Tergit von PT (♂), Malawi- S, Zomba-Plateau; 109 letztes Tergit von PT (♀), Malawi- S, Zomba-Plateau; 110 letztes Sternit von PT (♀), Malawi- S, Zomba-Plateau. Maßstäbe: 104: 0,78 mm, 105–106: 0,24 mm, 107: 0,12 mm, 108: 0,25 mm, 109–110: 0,24 mm.

♂: / [handschriftlich] Afrika, S-Malawi Zomba-Plateau  
1500 m 15.3.91 leg. C. Bayer/.

Körperlänge 4,2 mm.

Sehr kleine, zierliche Gestalt. Kopf, Elytren und Abdomen dunkelbraun bis pechschwarz. Alle Extremitäten bis auf die vier vorletzten dunkleren Antennenglieder gelblich braun, wie Pronotum und Scutellum. Kopf wenig länger als breit und breiter als das längsovale Pro-

notum. Oberfläche von Kopf und Halsschild glatt und glänzend, sehr locker mit wenigen groben und mehreren feinen borstentragenden Punkten besetzt. Schildchen nur basal querchagriniert, apikal auffallend glatt und glänzend. Flügeldecken ohne Schulterbeule leicht nach hinten erweitert, Oberfläche unchagriniert, aber durch grobe und feine Borstenpunkte runzlig wirkend. Beine, wie die anderen Anhänge ohne morphologische Beson-



derheiten. Abdomen wie üblich gestaltet, fein querchargriniert und nach hinten dichter werdend behaart.

♂: Oberlippe (Abb. 106) flach mit leicht krenuliertem Vorderrand und wenig vorstehenden Seitenecken. Der flache Mitteleinschnitt durch eine winzige Spitze ausgefüllt. Sternite zwei bis fünf mit einer kaum sichtbaren Verflachung. Hinterrand des letzten freiliegenden Tergits (Abb. 108) geschwungen. Aedoeagus (Abb. 104) länglich, schmal; in Ventralansicht rechts unterhalb der Mitte schwach, präapikal links stark verengt. Die gerundete Spitze in ein kleines Dreieck auslaufend. Die Ventralöffnung in der Oberhälfte zeigt eine längliche, schräg sitzende Struktur, aus der ein Flagellum austritt. Beim Holotypus (Abb. 104) ist dieses Flagellum über die Spitze des Aedoeagus als gebogener Zipfel hinausragend.

♀: Labrum (Abb. 105) tiefer und gerundeter als beim ♂ ausgeschnitten, der Vorderrand zu den Seiten konkav und schwach krenuliert. Letztes Tergit (Abb. 109) ähnlich dem des ♂, aber in der Mitte stärker vorgezogen. Das entsprechende Sternit (Abb. 110) sehr gerade abgeschnitten. Spermatheca (Abb. 107) am Ende der relativ großen, längsgestreckten Nebendrüse etwas dicker als am gegenüberliegenden, schwach abgewinkelten Ende. Differentialdiagnose: Von ähnlicher Gestalt wie *O. punctipennis* (Fgl.), dessen erste vier Abdominalsegmente jedoch gelblich sind und dessen Flügeldeckenpunktur tiefer und dichter ist.

Namenserklärung: Die Art wird nach ihrem Fundort benannt.

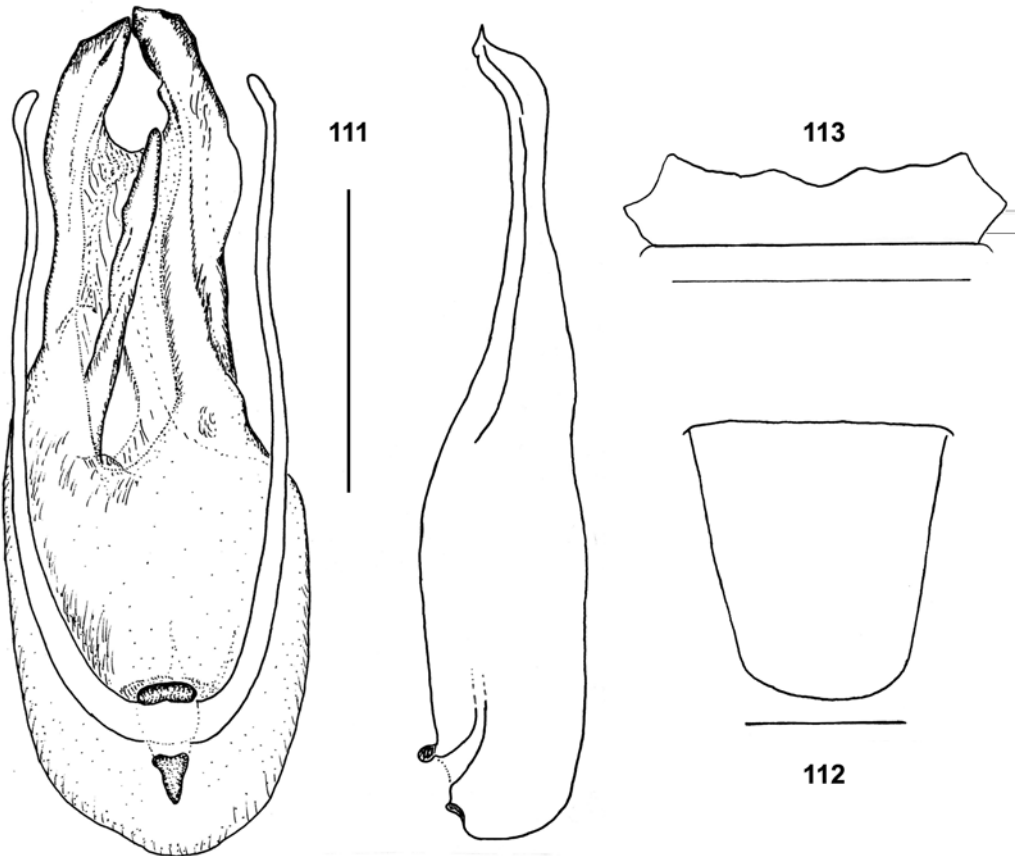


Abb. 111–113: *Oreopaederus kilinderaensis* n. sp.: 111 Aedoeagus, ventral und lateral von HT; 112 letztes Tergit von HT; 113 Labrum von HT. Maßstäbe: 111 ventral: 0,68 mm, 111 lateral: ohne, 112: 0,53 mm, 113: 0,42 mm.

### *Oreopaederus kilinderaensis* n. sp.

Holotypus ♂: / Kilindera: 2750/2950 m, litière de babusetum du Musoso Fauchage/ Coll. Mus. Tervuren Zaire: Face N. Ruwenzori VII/VIII. 74 R. P. M. Lejeune/ HOLOTYPUS ♂ *Oreopaederus kilinderaensis* n. sp. des. Willers, 10.2001 [rotes Etikett]/.

Paratypus ♂: / Kilindera: 2750 m dans bois morts/ Coll. Mus. Tervuren Zaire: Face N. Ruwenzori VII/VIII. 74 R. P. M. Lejeune/ PARATYPUS ♂ *Oreopaederus kilinderaensis* n. sp. des. Willers, 10.2001 [rotes Etikett]/.

Körperlänge 8,1 mm.

Kopf, Halsschild und Hinterleib hellbraun bis ziegelfarben, nur die Flügeldecken und das fünfte freiliegende Abdominalsegment etwas dunkler. Kopf breiter als lang und wenig breiter als das Pronotum. Oberfläche durch kräftige Punktierung wellig erscheinend, zwischen den Punkten undeutlich genetzt. Punktierung des längsovalen Halsschildes weniger dicht, aber mit erkennbaren Längsreihe jederseits der Mitte. Chagrin zwischen den Punkten noch undeutlicher netzartig. Schildchen fein querchagriniert. Die schulterlosen Elytren durch dichte Punktur rauh erscheinend, zwischen den Punkten kräftig unregelmäßig chagriniert. Alle Extremitäten hellbraun ohne weitere Besonderheiten. Oberfläche des Hinterleibs quermaschig chagriniert. Der ganze Körper dicht beborstet, die feineren Borsten auf den letzten Abdominalsegmenten verdichtet.

♂: Oberlippe (Abb. 113) mit welligem Vorderrand, die Außenseiten dreieckig. Sternite drei bis fünf mit sehr flacher Eindellung, diese mit dicht stehenden kurzen, schwarzen Borsten. Letztes freiliegendes Tergit (Abb. 112) sehr stumpf gerundet. Entsprechendes Sternit mit dem üblichen Ausschnitt. Aedoeagus (Abb. 111) länglich, von der Mitte an nach oben verschmälert. Spitze des Aedoeagus in zwei zusammengeneigte Zipfel ausgezogen, wodurch eine tropfenförmige Öffnung entsteht. Aus der Ventralöffnung tritt eine lanzettförmige Spange heraus. In Lateralansicht erscheint der Aedoeagus relativ gerade mit ventrad abgewinkelter Spitze.

♀: Unbekannt.

Differentialdiagnose: In Größe und Färbung leicht mit *O. leleupi* (Fgl.) verwechselbar, aber dichter und kräftiger punktiert und behaart als dieser. Der Aedoeagus zeigt große Ähnlichkeit zu dem von *O. alideri* (Wdlr.), besonders durch den zweiteiligen Apex. Der deutlich

größere *O. kilinderaensis* n. sp. hat jedoch einen helleren Kopf und ein helleres fünftes Abdominalsegment. Namensklärung: Die Art wird nach ihrem Fundort benannt.

#### Typenverbleib

Die Typen der neu beschriebenen Arten verbleiben in den jeweils angegebenen Sammlungen. Nur einige Paratypen der in großen Stückzahlen vorliegenden neuen Arten *Oreopaederus kibumbaensis*, *O. bambusicola* und *O. tshamugussaensis* sollen im MNHUB und im NME aufbewahrt werden.

#### Danksagung

Ich danke allen Mitarbeitern der o. g. Institutionen für die Möglichkeit der Bearbeitung des Materials, für die Ausleihmöglichkeit von Typen zum Vergleich sowie für die große Geduld während der Anfertigung des vorliegenden Beitrags. Meinen Senior-Kollegen Frau Dr. U. Göllner-Scheidung und Herrn Dr. F. Hieke (beide Berlin) danke ich für die Zurverfügungstellung von Landkarten bzw. für korrigierende Hinweise. Mein Freund und Laufkäferspezialist Dr. G. Geginat (Mainz) hat dankenswerterweise Fotografien für mich angefertigt.

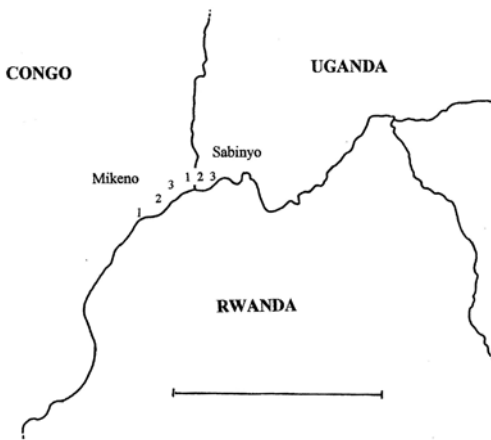
#### Literatur

- BERNHAEUER, M. (1915c): Neue Staphyliniden des tropischen Afrika. (10. Beitrag) - Verh. Zool.-Bot. Ges. Wien **65**: 287-321.
- (1927a): Neue afrikanische *Paederus* (sechzehnter Beitrag zur Staphylinidenfauna Afrikas). - Verh. Zool.-Bot. Ges. Wien **77**: 102-118.
- (1934c): 31. Beitrag zur Staphylinidenfauna Afrika's. - Rev. Zool. Bot. Afr. **24**: 229-248.
- (1934d): Neue Kurzflügler vom Ruwenzori-Kivu Gebiet. 34. Beitrag zur afrikanischen Staphylinidenfauna. - Rev. Zool. Bot. Afr. **25**: 206-217.
- (1942b): [Descriptions d'espèces nouvelles, in] M. Bernhauer & R. Paulian. Coléoptères staphylinides du Cameroun (Mission P. Lepesme, R. Paulian et A. Villiers, 1939). - Rev. Zool. Bot. Afr. **35**: 344-375.
- FAGEL, G. (1954a): Contribution à la connaissance des Staphylinidae XXVII. Le complexe des *Paederus ater* Bernh. - *P. testaceus* Bernh. - Volume Jubilaire Victor van Straelen 1989-1259, **2**: 899-967.
- (1954b): Homonymie. - Bull. Ann. Soc. Ent Belg. **90**: 237.
- (1956): Contributions à l'étude de la faune entomologique de Ruanda Urundi (Mission P. Basilewsky 1953) LXXXV. - Coleoptera Staphylinidae Paederini. Ann. Mus Congo Belge Sci. Zool. **51**: 184-200.
- (1958a): Paederini (Coleoptera Polyphaga) Fam. Staphylinidae. - In: Exploration du Parc National de l'Upemba, Mission G.F. de Witte. Fasc. **51**: 1-470. Institut des Parcs Nationaux du Congo Belge; Brussels.
- (1960b): Contribution à la connaissance des Staphylinidae LX. Sur quelques Paederini de la dorsale congolaise. - Rev. Zool. Bot. Afr. **61**: 189-204.

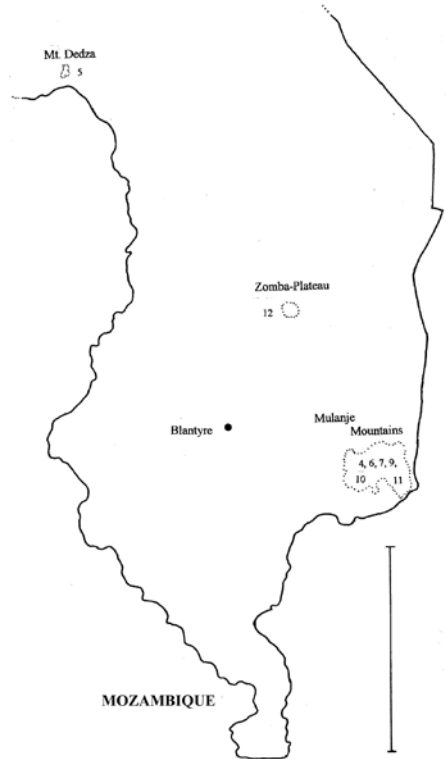
- (1961a): Contribution à la connaissance des Staphylinidae LXXV. Paederini éthiopiens nouveaux ou mal connus. - Bull. Ann. Soc. R. Ent. Belg. **97**: 257–286.
- (1962b): Contribution à la connaissance des Staphylinidae LXXVI. Paederini nouveaux de l'Angola. *Jeanneliusa* nouveaux de l'Angola. - Publ. Cult. Cia. Diamant. Angola, Lisbon **58**: 13-23, 25–36.
- (1964): Contribution à la connaissance des Staphylinidae LXXXVII. Deux *Oreopaederus* nouveaux du Katanga. - Bull. Ann. Soc. Ent. Belg. **100**: 225–229.
- (1973): Contribution à la connaissance des Staphylinidae (Coleoptera) CXV. Sur quelques Paederini africains. Rev. Zool. Bot. afr., **87**, n° 1.
- FRANK, J. H. (1988): *Paederus*, sensu lato (Coleoptera, Staphylinidae): An Index and Review of the Taxa. - Insecta Mundi Vol. 2, no. 2, 97–159.
- GAEDIKE, H. (1981): Katalog der in den Sammlungen der Abteilung Taxonomie der Insekten des Institutes für Pflanzenschutzforschung, Bereich Eberswalde (ehemals Deutsches Entomologisches Institut) aufbewahrten Typen - XIX. (Coleoptera: Staphylinidae). - Beitr. Ent., Berlin **31** (1): 175–232.
- HERMAN, L. (2003): Nomenclatural changes in the Paederinae (Coleoptera: Staphylinidae). - American Museum novitates; no. 3416.
- LECOQ, J.-CL. (1993): Insectes Coléoptères Staphylinidae Paederinae, II. Paederini. - Faune de Madagascar **79**: 1–91.
- SCHEERPELTZ, O. (1933): Staphylinidae II. In: Coleopterorum Catalogus (W. Junk, Berlin) Lfg. **129**: 989–1500.
- WASMANN, E. (1911): Zur Kenntnis der Termiten und Termitengäste vom belgischen Congo. - Rev. Zool. Afr. **1**: 91–117.
- WENDELER, H. (1933): Sechs neue *Paederus* (18. Beitrag zur Kenntnis der Staphyliniden). - Mitt. Deutsche Ent. Ges. **4**: 55–58.

**Anschrift des Autors:**

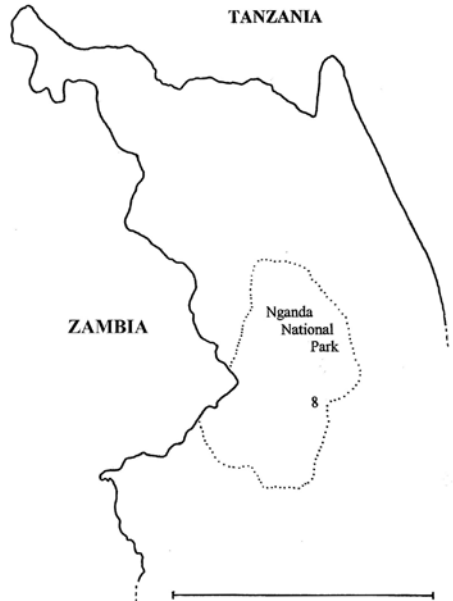
Joachim Willers  
 Sandbacher Weg 71 A  
 12526 Berlin  
 Joachim.Willers@museum.hu-berlin.de



Karte 1: Fundorte von n. sp. 1 *Oreopaederus kibumbaensis*, 2 *O. bambusicola*, 3 *O. tshamugussaensis* bei den Vulkanen Mikeno und Sabinyo. Maßstab: 100 km.



Karte 2: Südlicher Teil von Malawi mit den Fundorten von n. sp. 4–7 und 9–12 in den Mulanje-Bergen, dem Mt. Dedza und im Zomba-Plateau. 4 *Oreopaederus pulcher*, 5 *O. dedzaensis*, 6 *O. mulanjensis*, 7 *O. lichenyaensis*, 9 *O. sapitwaensis*, 10 *O. makhutulaensis*, 11 *O. jocquei*, 12 *O. zombaensis*. Maßstab: 100 km.



Karte 3: Nördlicher Teil von Malawi mit den Fundorten von n. sp. 8 *Oreopaederus kasarambaensis* im Nganda National Park. Maßstab: 100 km.

Tab. 1: Biometrie (Körpermaße in mm) von *Oreopaederus kibumbaensis* n. sp., *O. bambusicola* n. sp., *O. tshamugussaensis* n. sp., *O. pulcher* n. sp.

	<i>O. kibumbaensis</i>		<i>O. bambusicola</i>		<i>O. tshamugussaensis</i>		<i>O. pulcher</i>	
	n = 47	24 ♂♂, 23 ♀♀	n = 15	11 ♂♂, 4 ♀♀	n = 27	19 ♂♂, 8 ♀♀	n = 3	2 ♂♂, 1 ♀
	Mittelwert $\bar{x}$	Standard- abweichung s (σ <sub>n-1</sub> )	Mittelwert $\bar{x}$	Standard- abweichung s (σ <sub>n-1</sub> )	Mittelwert $\bar{x}$	Standard- abweichung s (σ <sub>n-1</sub> )	Mittelwert $\bar{x}$	Standard- abweichung s (σ <sub>n-1</sub> )
Körperlänge (Labrum bis 6. Tergit)	7,62	0,50	6,0	0,46	7,58	0,62	5,77	0,31
Vorderkörperlänge (inkl. Elytren)	3,44	0,14	2,72	0,12	3,58	0,18	2,63	0,21
Länge des Kopfes	1,08	0,03	0,85	0,05	1,09	0,05	0,92	0,03
Breite des Kopfes	1,03	0,03	0,82	0,02	1,07	0,04	0,97	0,03
Index Kopflänge durch Kopfbreite	1,05	0,04	1,04	0,06	1,02	0,05	0,95	0,05
Länge der Augen	0,29	0,02	0,25	0,02	0,29	0,02	0,24	0,01
Länge des inneren Augenabstandes	0,78	0,03	0,61	0,02	0,80	0,03	0,73	0,03
Länge der Schläfen	0,43	0,02	0,30	0,02	0,42	0,03	0,39	0,01
Länge des Pronotums	1,23	0,04	0,95	0,03	1,27	0,04	1,14	0,01
Breite des Pronotums	1,07	0,04	0,81	0,02	1,09	0,04	0,98	0,03
Index Pronotumlänge durch Pronotumbreite	1,15	0,03	1,17	0,04	1,17	0,04	1,17	0,02
Länge der Flügeldeckennaht	0,72	0,04	0,54	0,04	0,76	0,04	0,54	0,01
Breite der Flügeldecken	1,13	0,04	0,80	0,04	1,15	0,06	0,93	0,03
Index Länge der Flügeldeckennaht durch Breite der Flügeldecken	0,64	0,03	0,68	0,03	0,66	0,04	0,58	<0,01
Länge des Aedoeagus	1,61	0,06	1,22	0,04	1,65	0,05	1,42	0,09
Breite des Aedoeagus	0,48	0,02	0,32	0,02	0,50	0,03	0,3	0,07
Index Länge/Breite des Aedoeagus	3,34	0,20	3,83	0,26	3,28	0,18	4,82	0,83

Tab. 2: Biometrie (Körpermaße in mm) von *Oreopaederus dedzaensis* n. sp., *O. mulanjensis* n. sp., *O. lichenyaensis* n. sp., *O. kasarambaensis* n. sp.

	<i>O. dedzaensis</i>		<i>O. mulanjensis</i>		<i>O. lichenyaensis</i>		<i>O. kasarambaensis</i>	
	n = 8	4 ♂♂, 4 ♀♀	n = 6	2 ♂♂, 4 ♀♀	n = 3	2 ♂♂ 1 ♀	n = 5	1 ♂, 4 ♀♀
	Mittelwert $\bar{x}$	Standard- abweichung s (σn-1)	Mittelwert $\bar{x}$	Standard- abweichung s (σn-1)	Mittelwert $\bar{x}$	Standard- abweichung s (σn-1)	Mittelwert $\bar{x}$	Standard- abweichung s (σn-1)
Körperlänge (Labrum bis 6. Tergit)	4,85	0,38	4,98	0,46	4,87	0,29	6,63	0,57
Vorderkörperlänge (inkl. Elytren)	2,37	0,11	2,45	0,09	2,37	0,06	2,76	0,04
Länge des Kopfes	0,79	0,04	0,75	0,03	0,78	0,03	0,86	0,06
Breite des Kopfes	0,81	0,03	0,78	0,03	0,78	0,03	0,87	0,03
Index Kopflänge durch Kopfbreite	0,98	0,07	0,97	0,04	1,0	0,07	0,99	0,08
Länge der Augen	0,24	< 0,01	0,23	0,01	0,22	0,02	0,23	0,02
Länge des inneren Augenabstandes	0,61	0,03	0,58	0,03	0,59	0,01	0,65	0,02
Länge der Schläfen	0,29	0,02	0,26	0,02	0,28	0,03	0,36	0,02
Länge des Pronotums	0,95	0,04	0,91	0,03	0,92	0,02	1,06	0,02
Breite des Pronotums	0,82	0,03	0,78	0,03	0,75	0	0,86	0,02
Index Pronotumlänge durch Pronotumbreite	1,17	0,04	1,17	0,03	1,22	0,03	1,25	0,03
Länge der Flügeldecken	0,55	0,02	0,45	0,03	0,45	0	0,60	0,05
Breite der Flügeldecken	0,73	0,03	0,80	0,06	0,71	0,04	0,82	< 0,01
Index Länge der Flügeldecken	0,76	0,03	0,56	0,05	0,63	0,03	0,73	0,03
Länge des Aedeagus	1,16	0,03	1,24	0,06	1,23	0,04	1,65	0,02
Breite des Aedeagus	0,27	0,02	0,22	0,02	0,28	0	0,28	
Index Länge/Breite des Aedeagus	4,3	0,25	5,81	0,84	4,38	0,12	5,89	

174 Tab. 3: Biometrie (Körpermaße in mm) von *Oreopaederus sapitwaensis* n. sp., *O. makhutulaensis* n. sp., *O. jocquei* n. sp., *O. zombaensis* n. sp., *O. kilinderaensis* n. sp.

	<i>O. sapitwaensis</i>		<i>O. makhutulaensis</i>		<i>O. jocquei</i>		<i>O. zombaensis</i>		<i>O. kilinderaensis</i>	
	n = 8	3 ♂♂, 5 ♀♀ Standard- abweichung s (σn-1)	n = 5	1 ♂, 4 ♀♀ Standard- abweichung s (σn-1)	n = 2: 1 ♂, 1 ♀ Mittelwert — $\bar{X}$	n = 7	4 ♂♂, 3 ♀♀ Standard- abweichung s (σn-1)	n = 2: 2 ♂♂ Mittelwert — $\bar{X}$		
Körperlänge (Labrum bis 6. Tergit)	6,18	0,40	6,61	0,20	5,03	4,21	0,29	8,1		
Vorderkörperlänge (inkl. Elytren)	2,71	0,18	2,89	0,13	2,18	2,07	0,10	3,6		
Länge des Kopfes	0,87	0,08	0,97	0,03	0,73	0,68	0,03	1,15		
Breite des Kopfes	0,89	0,04	1,02	0,05	0,7	0,66	0,02	1,18		
Index Kopflänge durch Kopfbreite	0,97	0,06	0,95	0,03	1,04	1,02	0,04	0,98		
Länge der Augen	0,25	0,02	0,24	0,01	0,22	0,20	0,02	0,32		
Länge des inneren Augenabstandes	0,69	0,03	0,80	0,03	0,54	0,46	0,02	0,88		
Länge der Schläfen	0,33	0,02	0,39	0,01	0,28	0,25	0,02	0,42		
Länge des Pronotums	1,09	0,05	1,14	0,07	0,83	0,73	0,03	1,35		
Breite des Pronotums	0,94	0,05	1,04	0,07	0,71	0,62	0,02	1,17		
Index Pronotumlänge durch Pronotumbreite	1,16	0,02	1,09	0,03	1,17	1,17	0,04	1,16		
Länge der Flügeldeckennaht	0,54	0,02	0,58	0,03	0,48	0,41	0,03	0,78		
Breite der Flügeldecken	0,90	0,05	1,0	0,05	0,68	0,62	0,02	1,18		
Index Länge der Flügeldeckennaht durch Breite der Flügeldecken	0,60	0,03	0,58	0,04	0,70	0,65	0,05	0,67		
Länge des Aedoeagus	1,4	0,05	1,55		1,2	0,78	0,03	2,03		
Breite des Aedoeagus	0,37	0,02	0,3		0,23	0,17	0,02	0,69		
Index Länge/Breite des Aedoeagus	3,79	0,10	5,2		5,2	4,51	0,35	2,94		

# ZOBODAT - [www.zobodat.at](http://www.zobodat.at)

Zoologisch-Botanische Datenbank/Zoological-Botanical Database

Digitale Literatur/Digital Literature

Zeitschrift/Journal: [Veröffentlichungen des Naturkundemuseums Erfurt \(in Folge VERNATE\)](#)

Jahr/Year: 2008

Band/Volume: [27](#)

Autor(en)/Author(s): Willers Joachim

Artikel/Article: [Beitrag zur afrikanischen Gattung Oreopaederus Fagel, 1958 \(Coleoptera: Staphylinidae\) 145-174](#)